

FIG. 1A

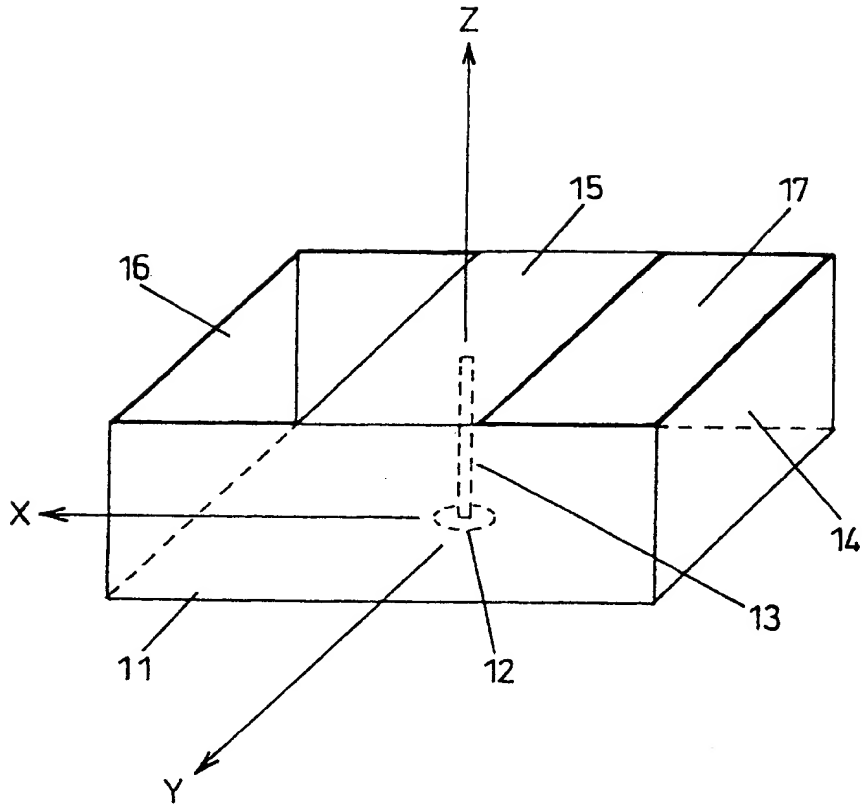
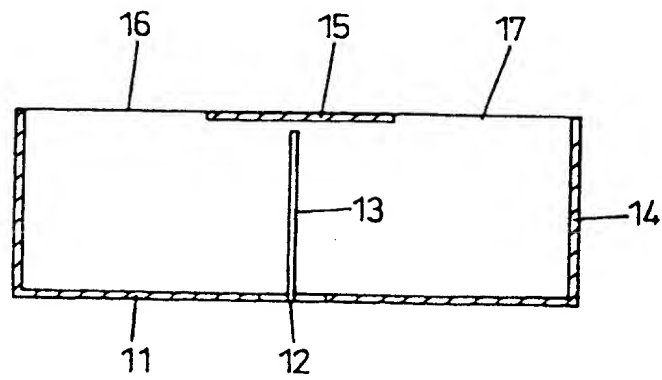


FIG. 1B



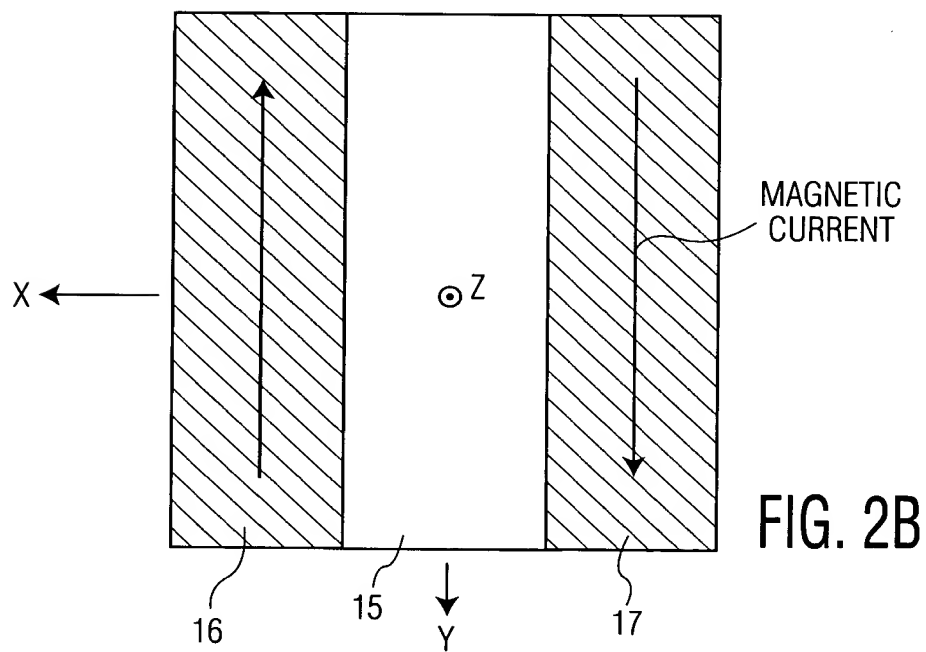
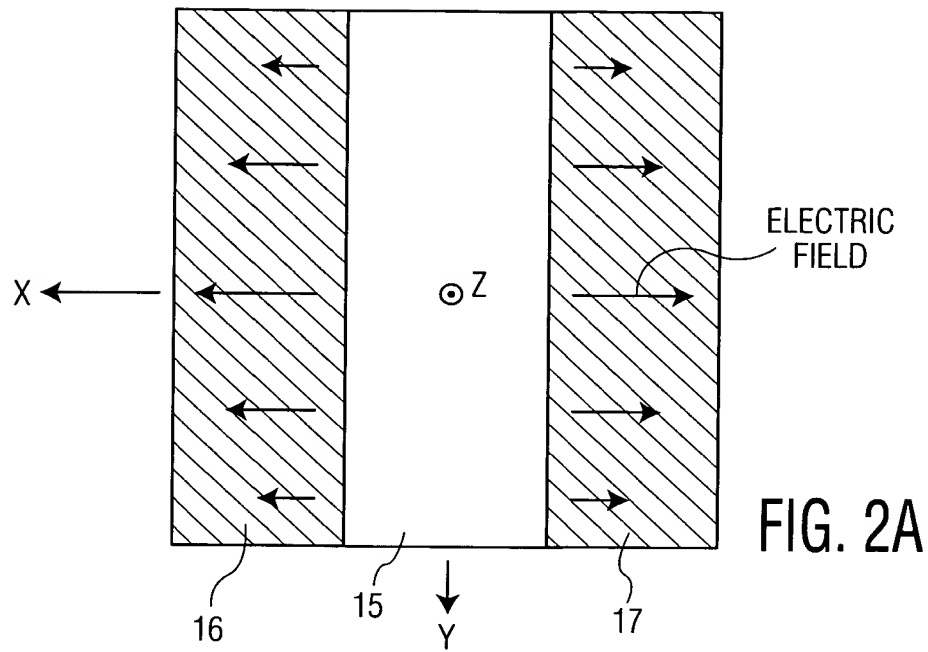
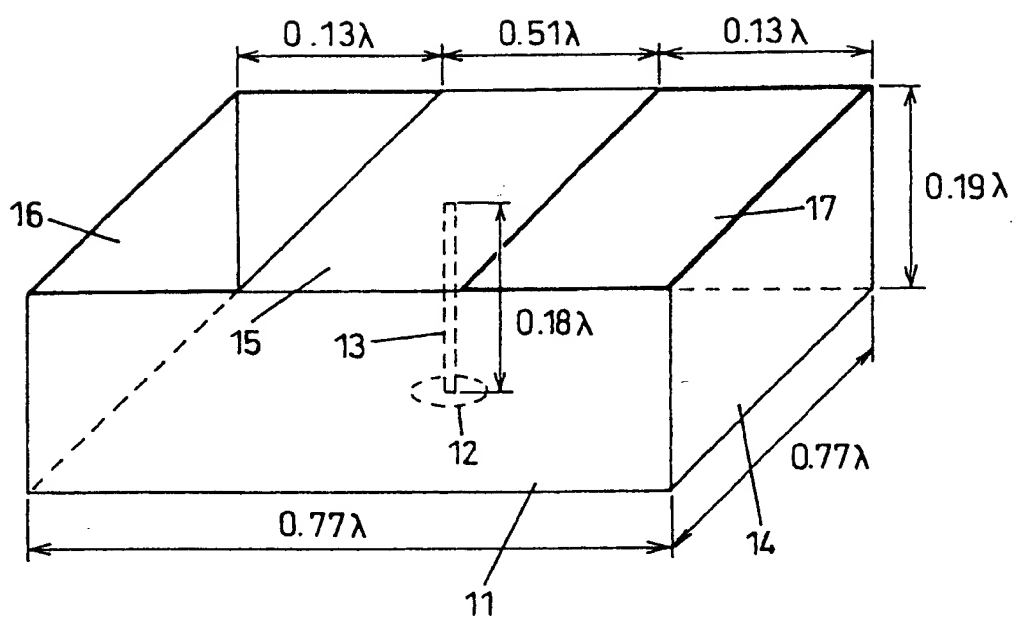


FIG. 3



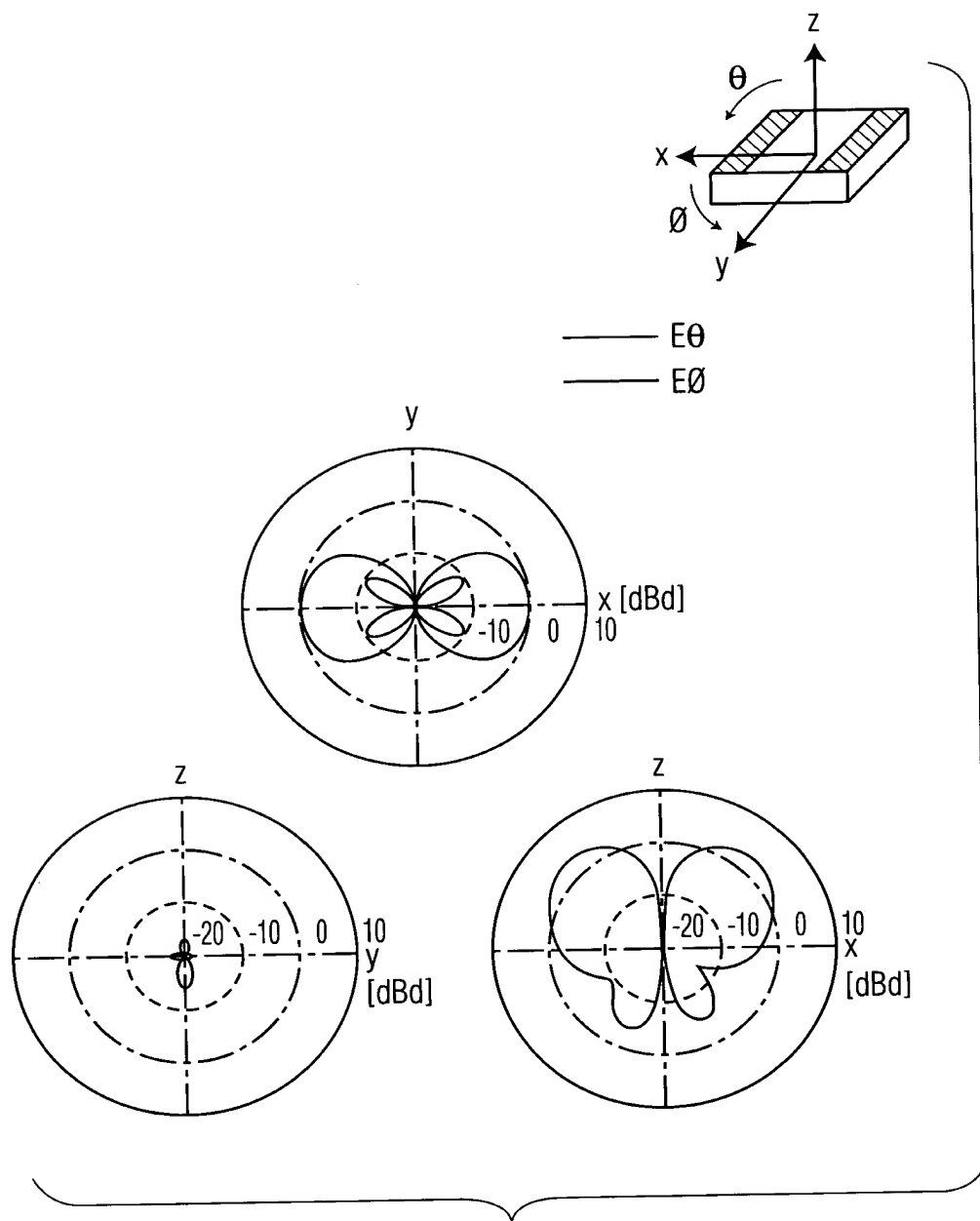
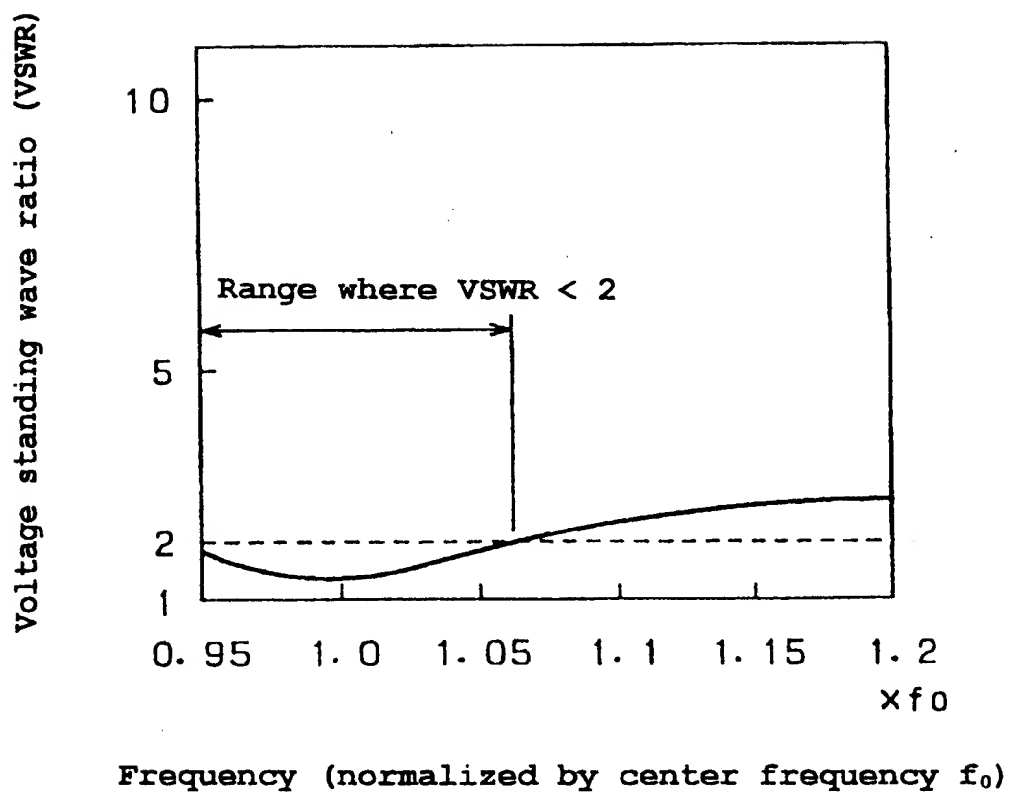


FIG. 4



FIG. 5



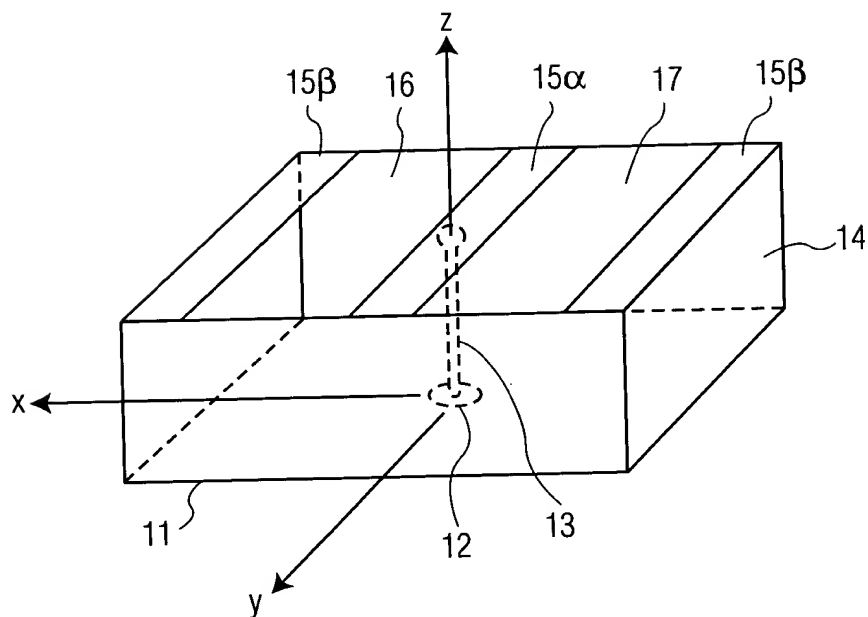


FIG. 6A

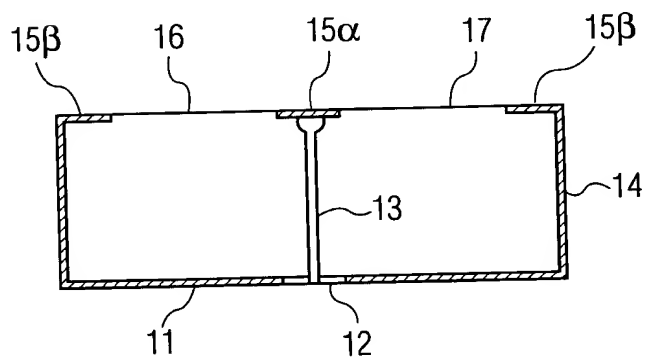
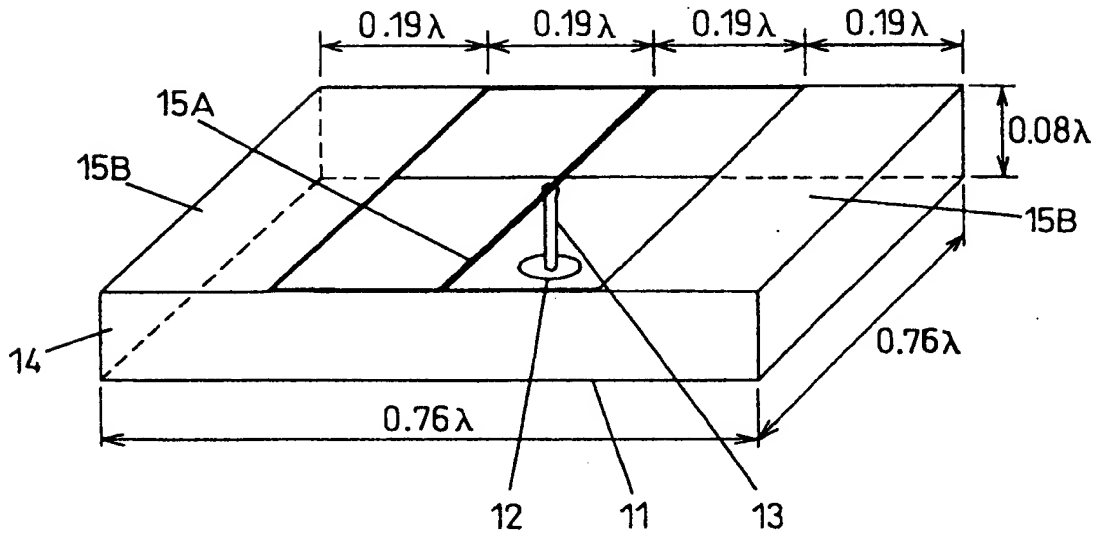
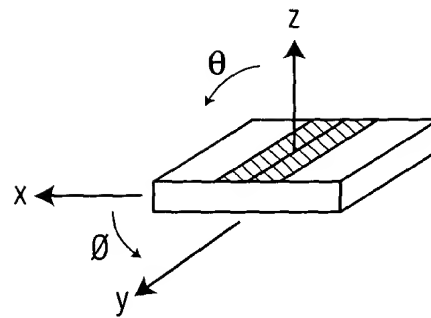


FIG. 6B



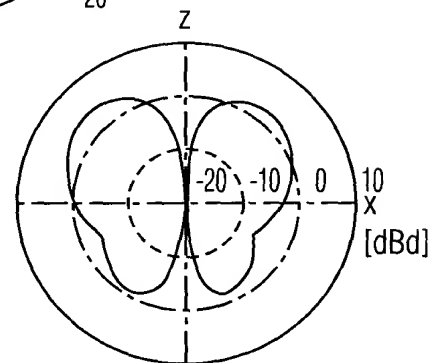
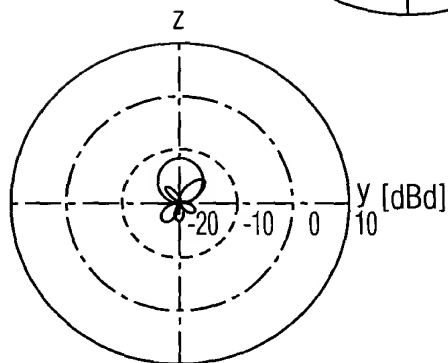
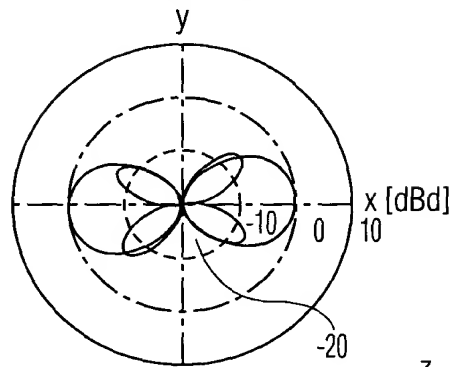
FIG. 7





— E_{θ}
— E_{ϕ}

	MRG	PAG	FREQ	FILE
E_{θ}	0.21	-5.17	1930.	22. d
E_{ϕ}	-5.20	-10.56	1930.	23. d



	MRG	PAG	FREQ	FILE
E_{θ}	-13.80	-17.49	1930.	27. d
E_{ϕ}	-11.39	-15.56	1930.	26. d

	MRG	PAG	FREQ	FILE
E_{θ}	4.80	0.16	1930.	25. d
E_{ϕ}	-18.39	-20.13	1930.	24. d

FIG. 8

FIG. 9

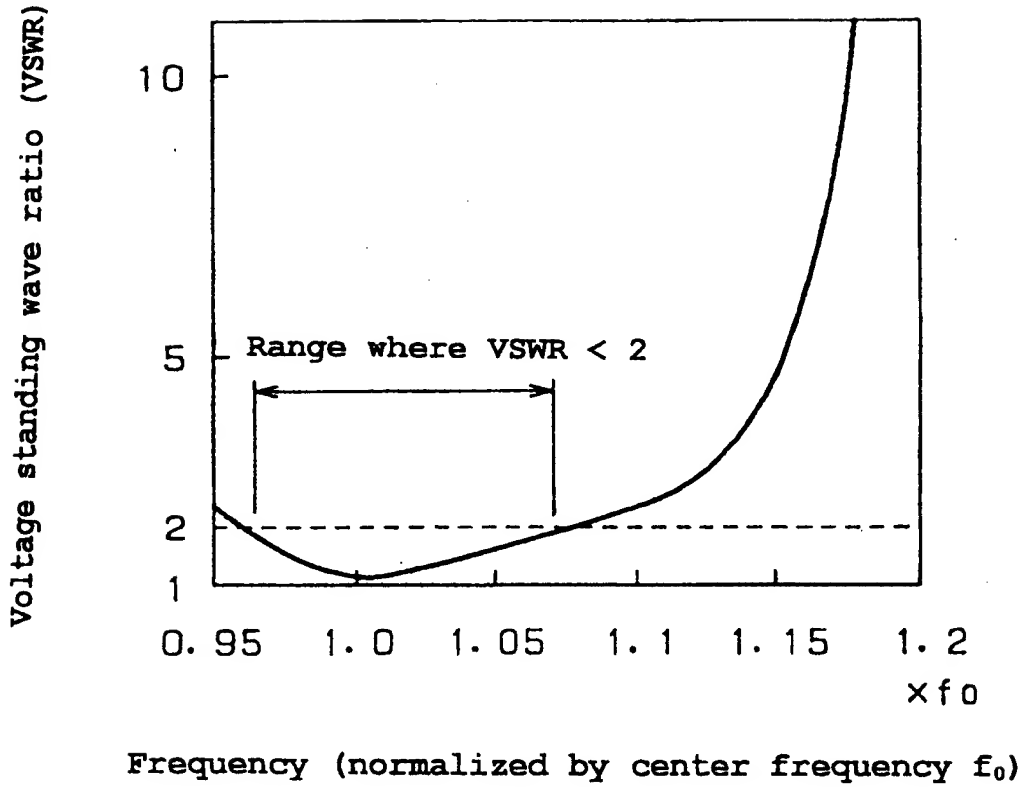


FIG. 10A

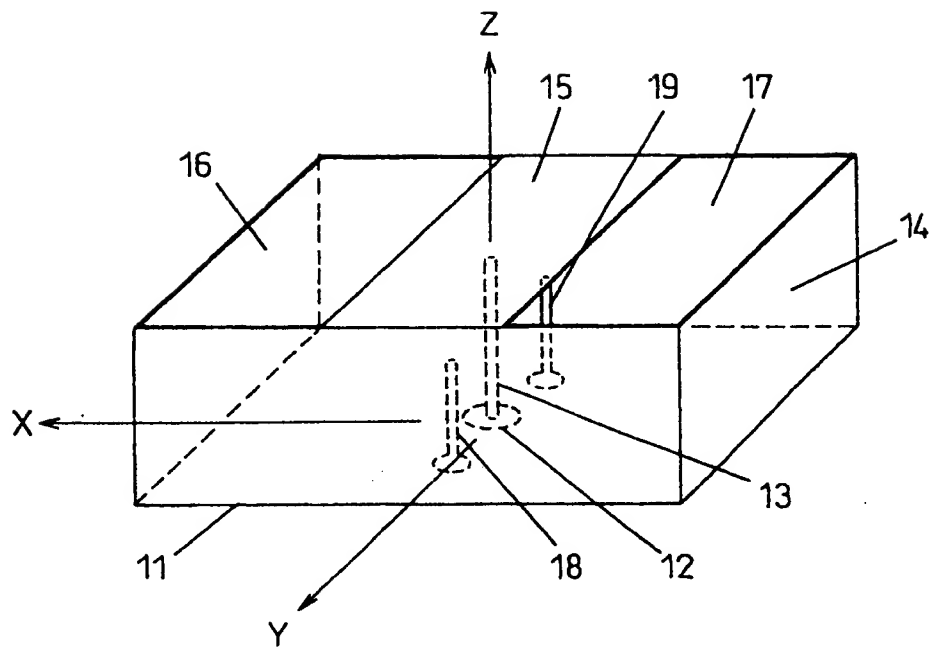


FIG. 10B

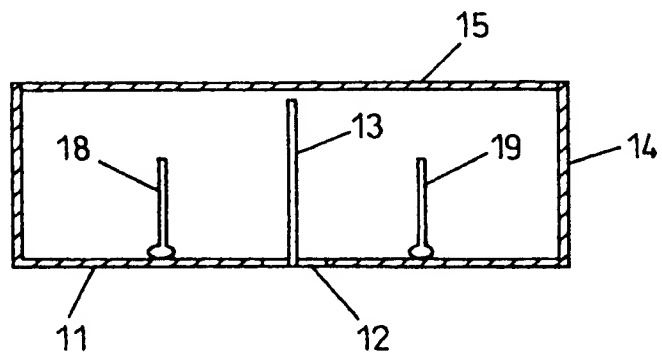


FIG. 11A

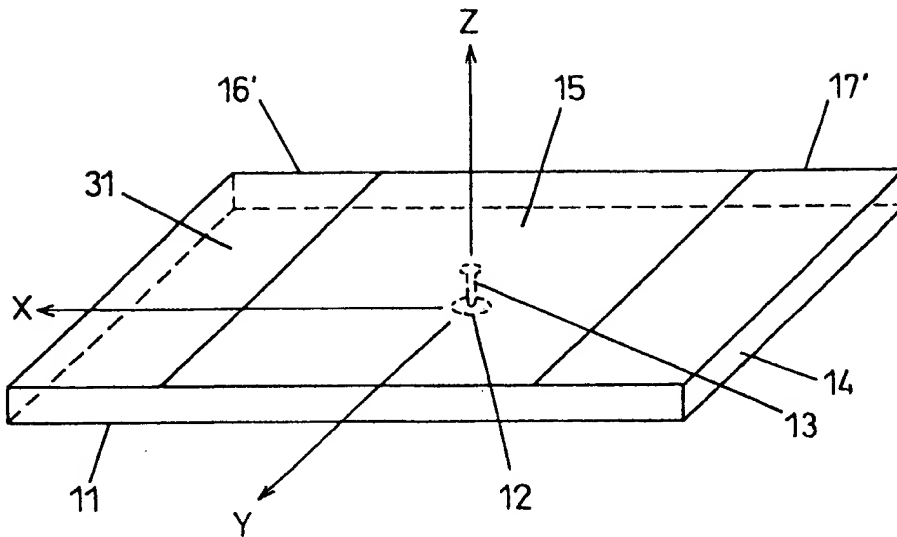
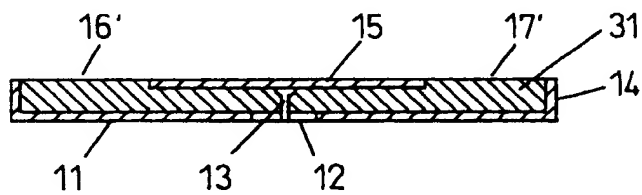


FIG. 11B



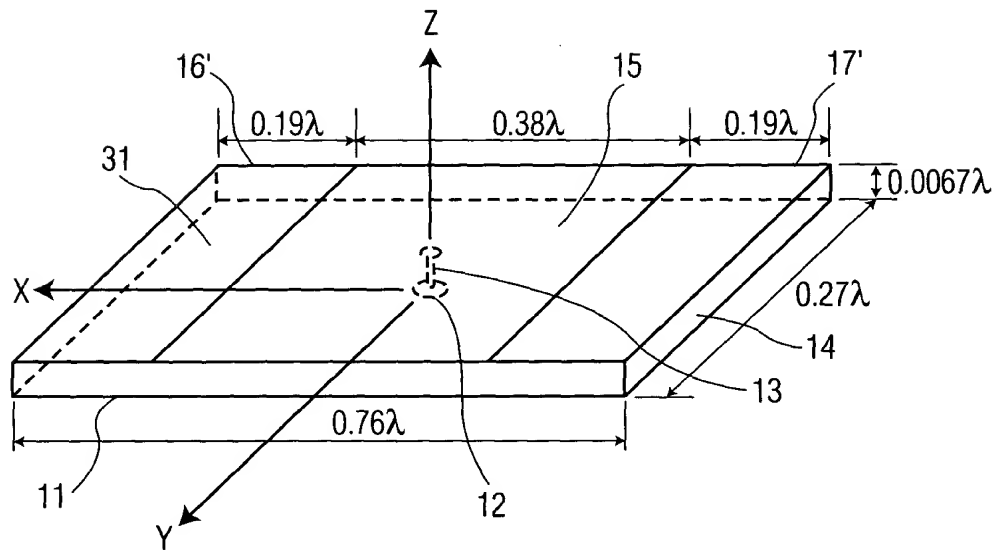


FIG. 12

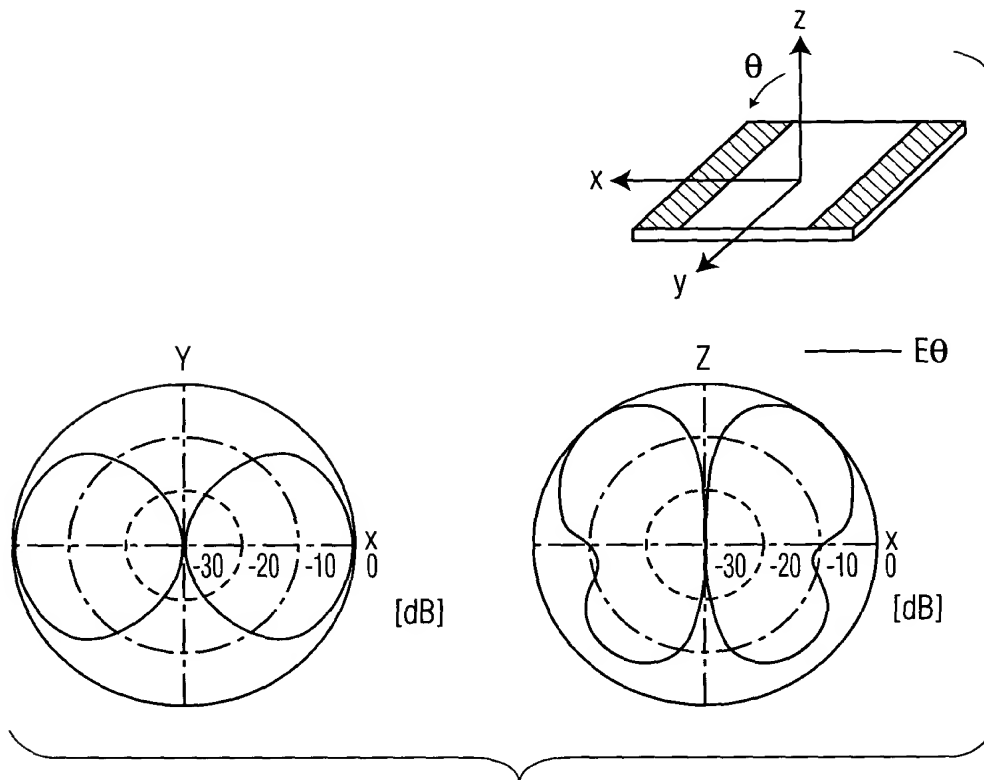


FIG. 13

FIG. 14

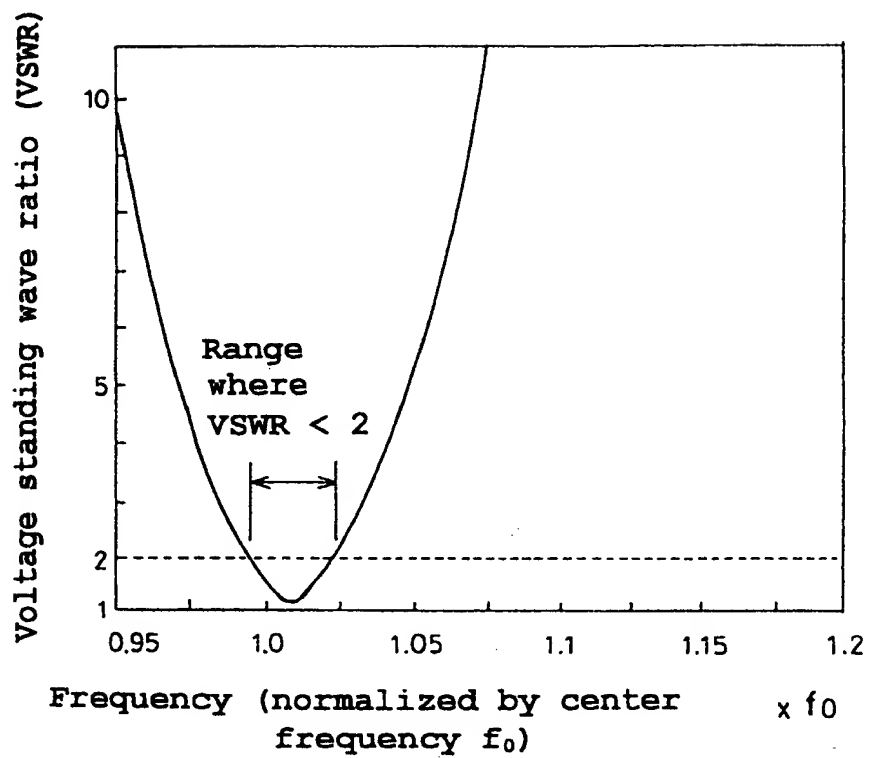


FIG. 15

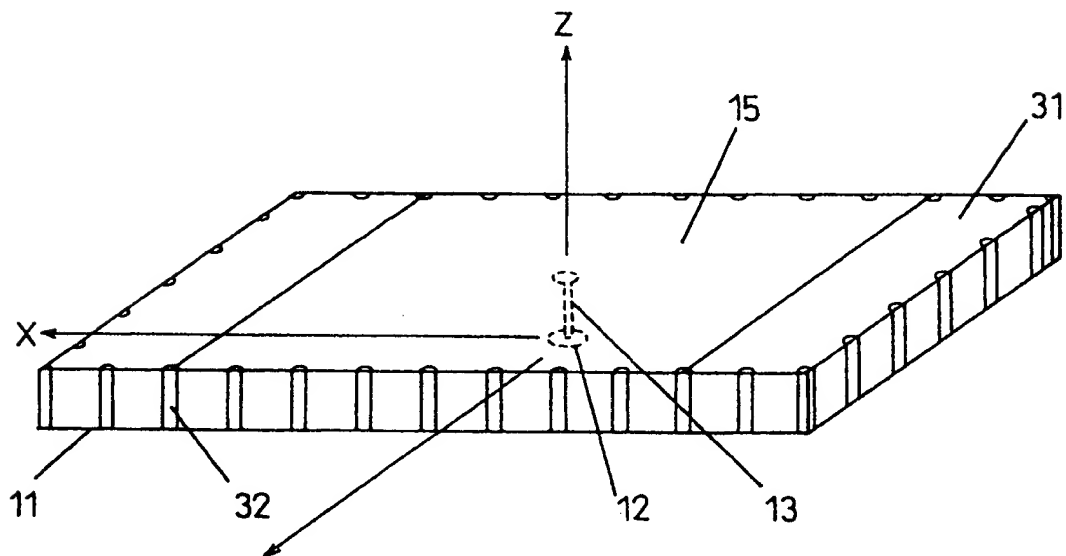


FIG. 16A

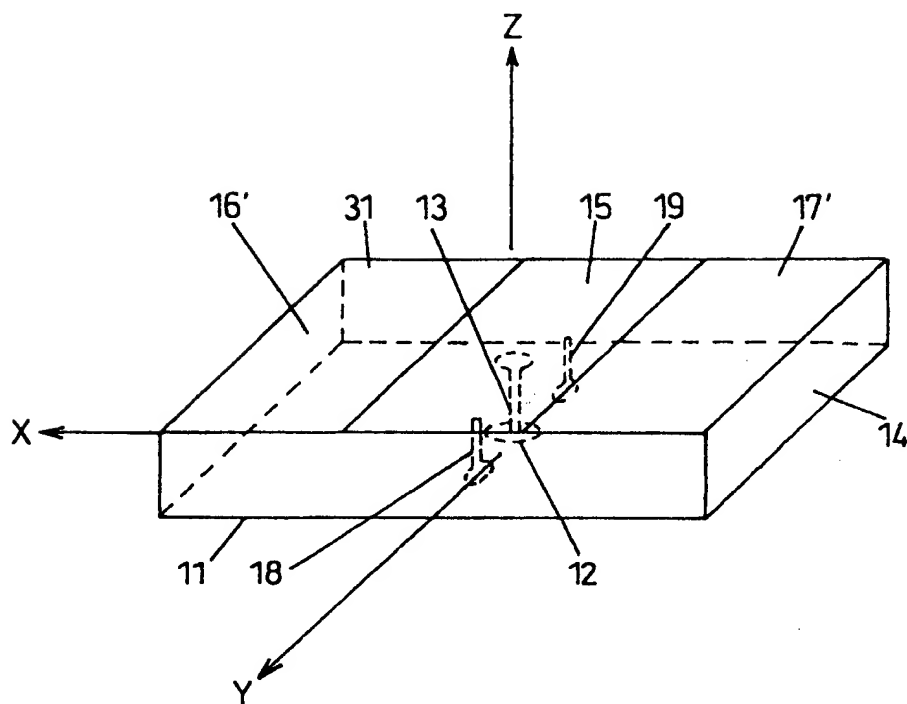


FIG. 16B

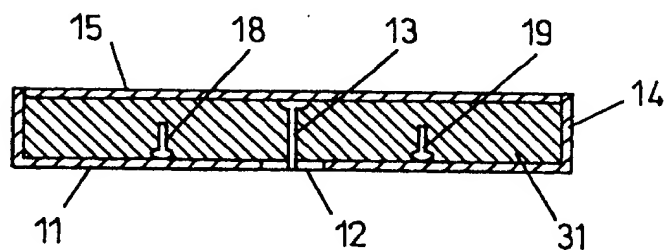


FIG. 17A

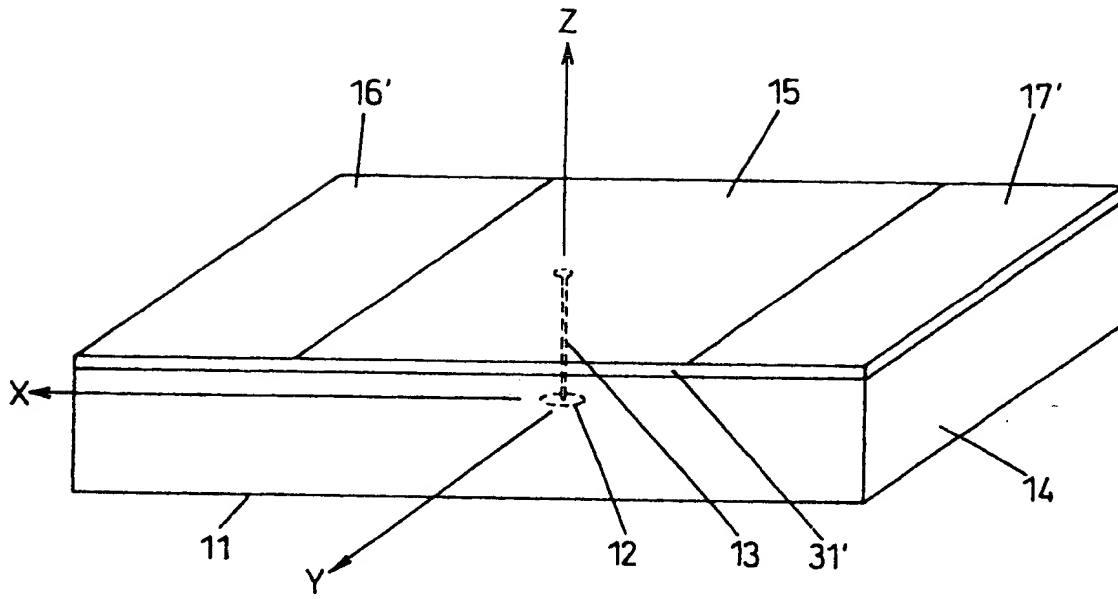


FIG. 17B

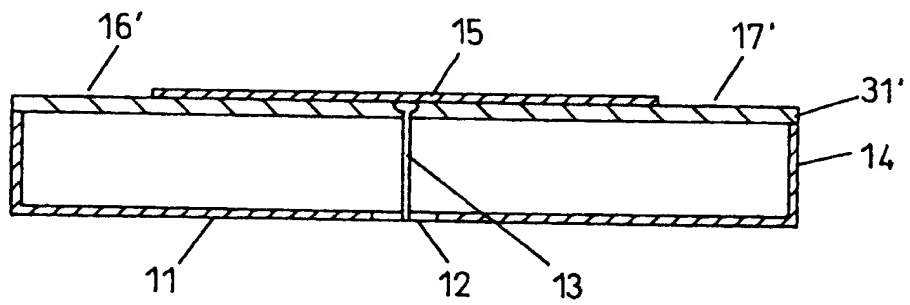


FIG. 18A

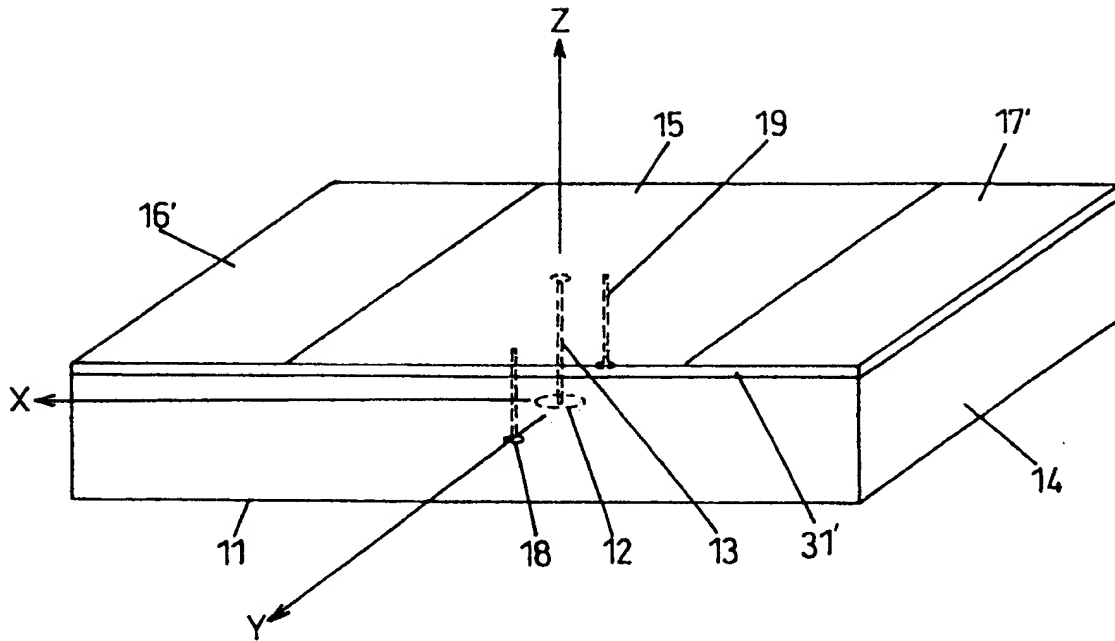


FIG. 18B

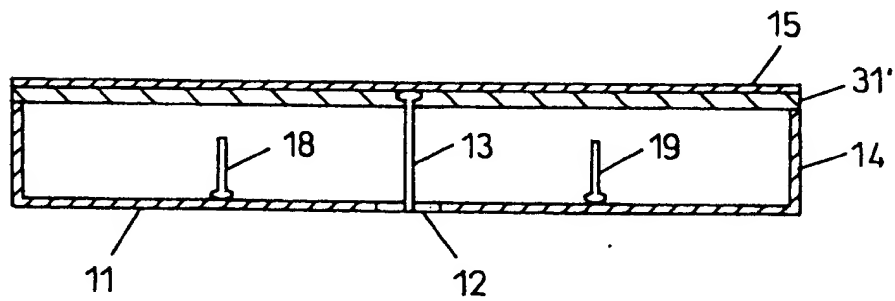


FIG. 19A

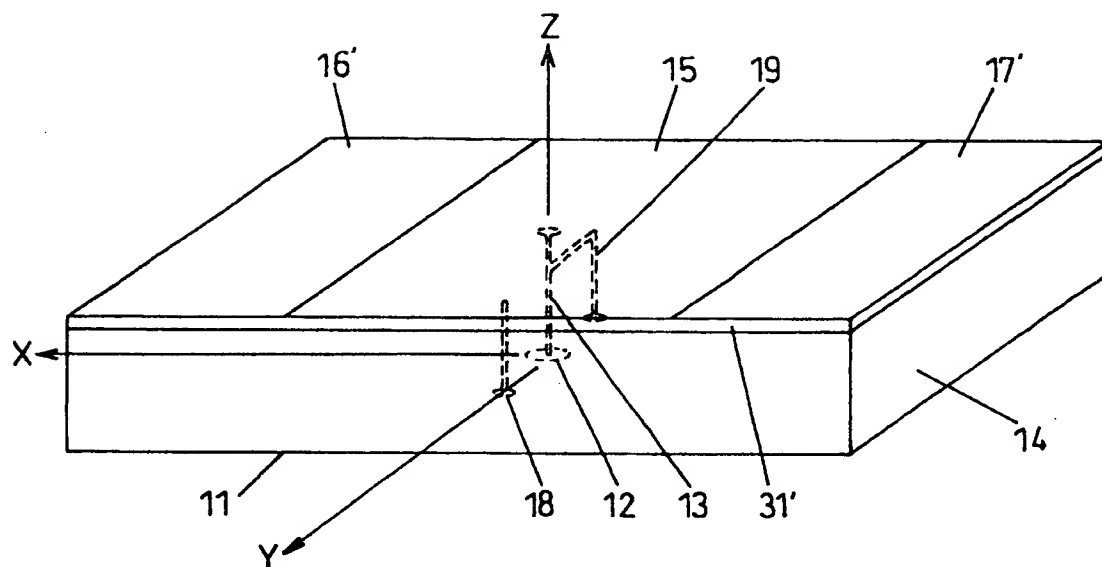


FIG. 19B

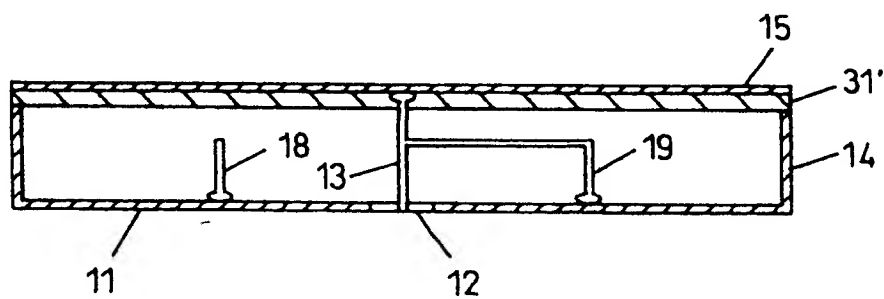




FIG. 20A

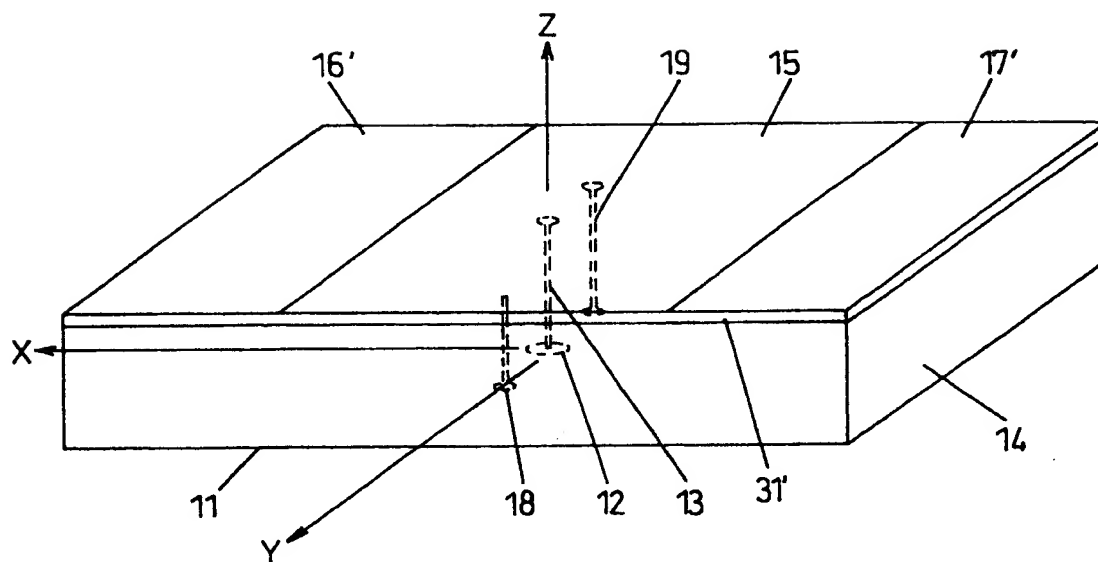
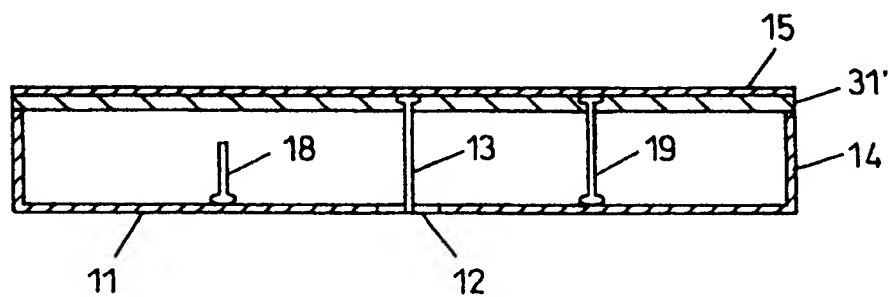


FIG. 20B



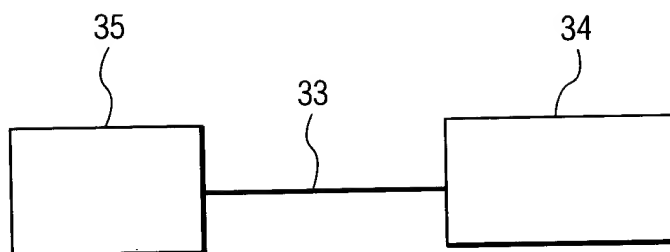


FIG. 21

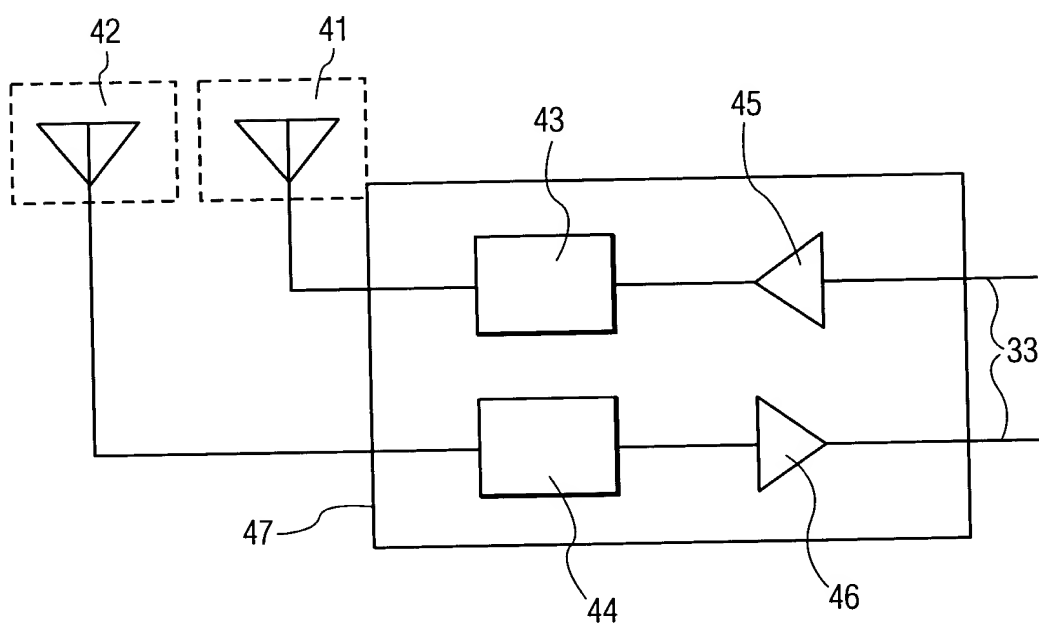
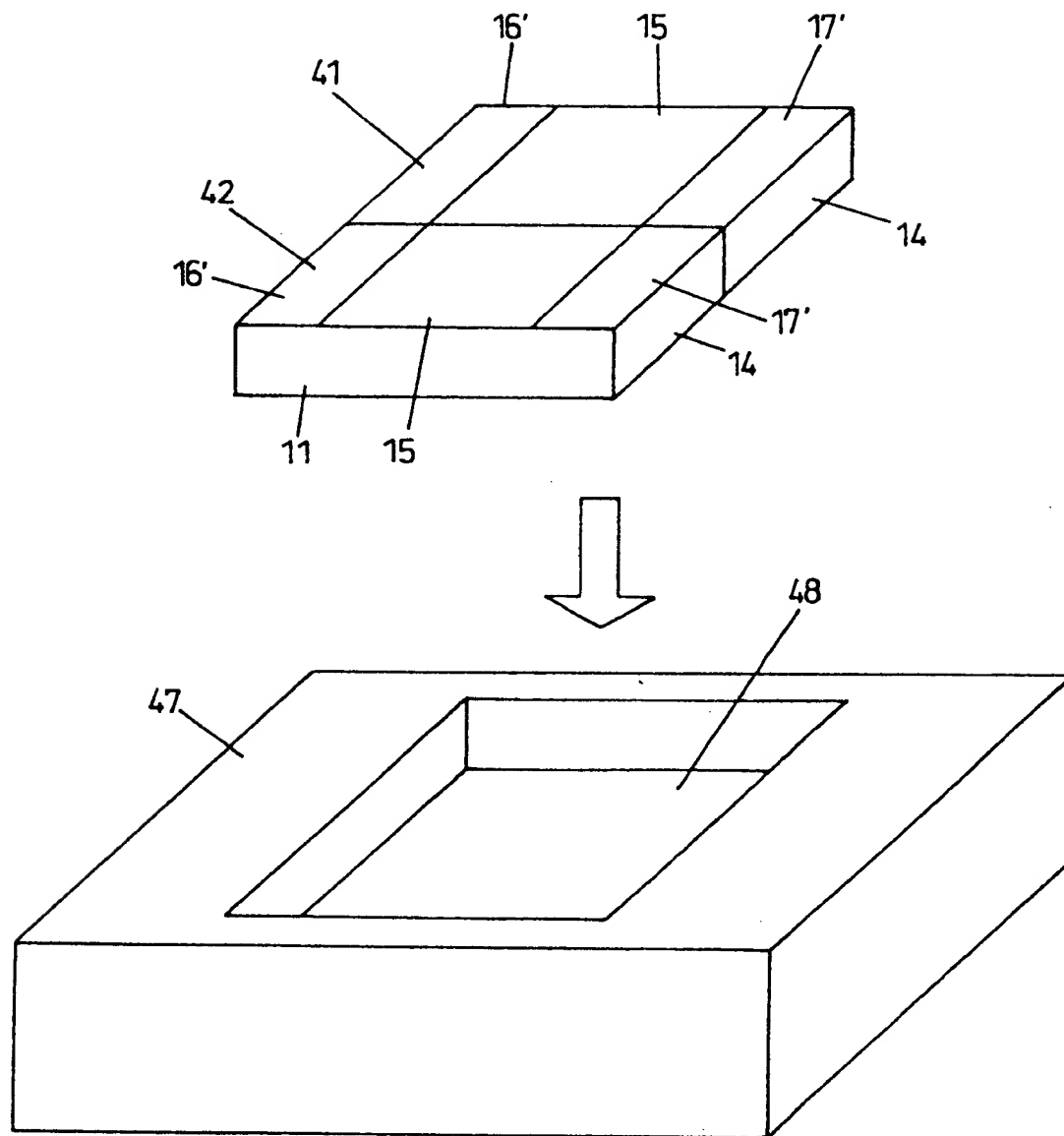


FIG. 22



FIG. 23



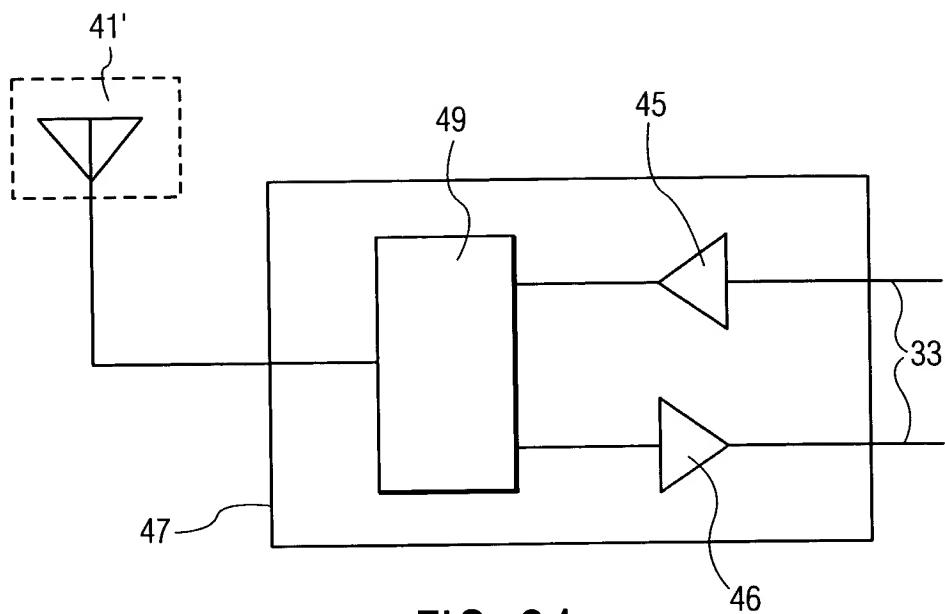


FIG. 24

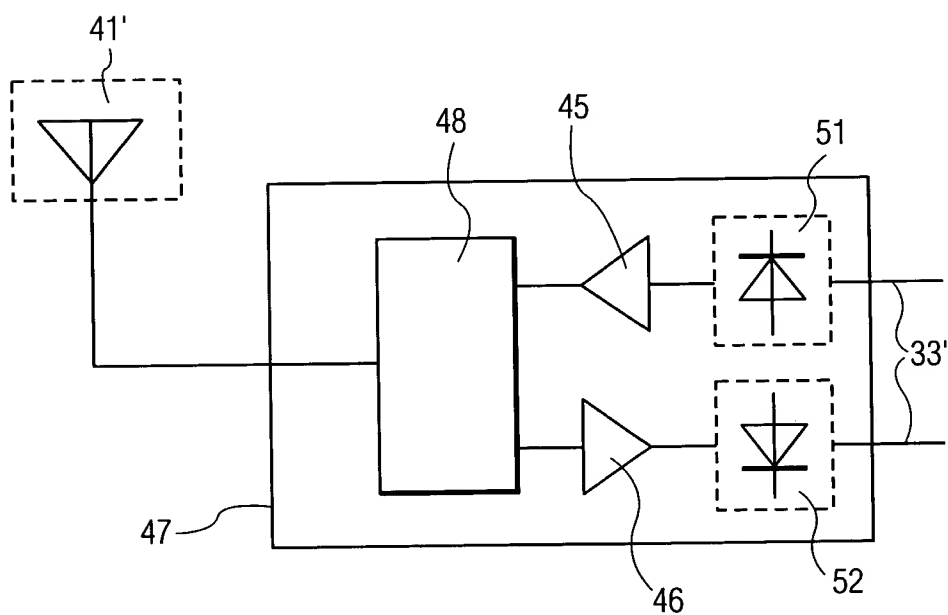


FIG. 25

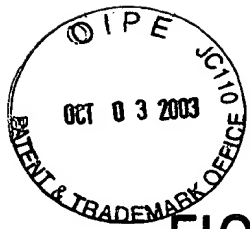


FIG. 26

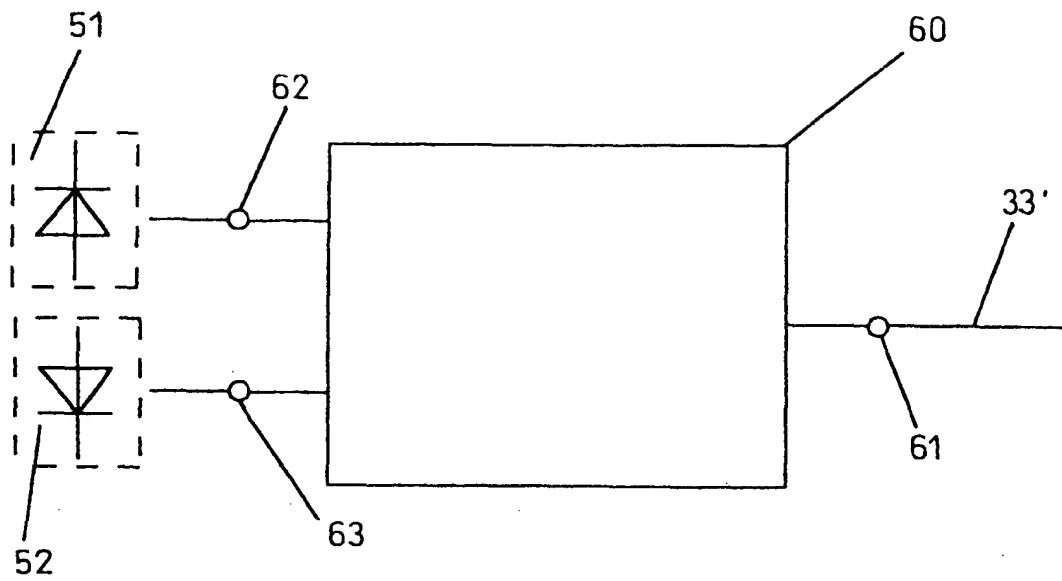


FIG. 27

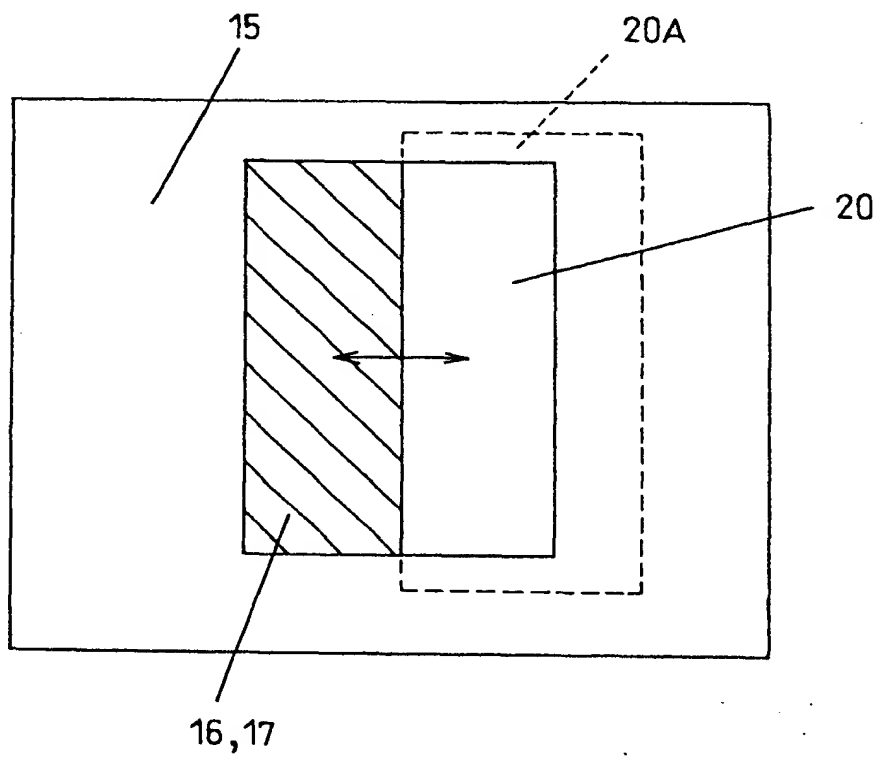


FIG. 28A

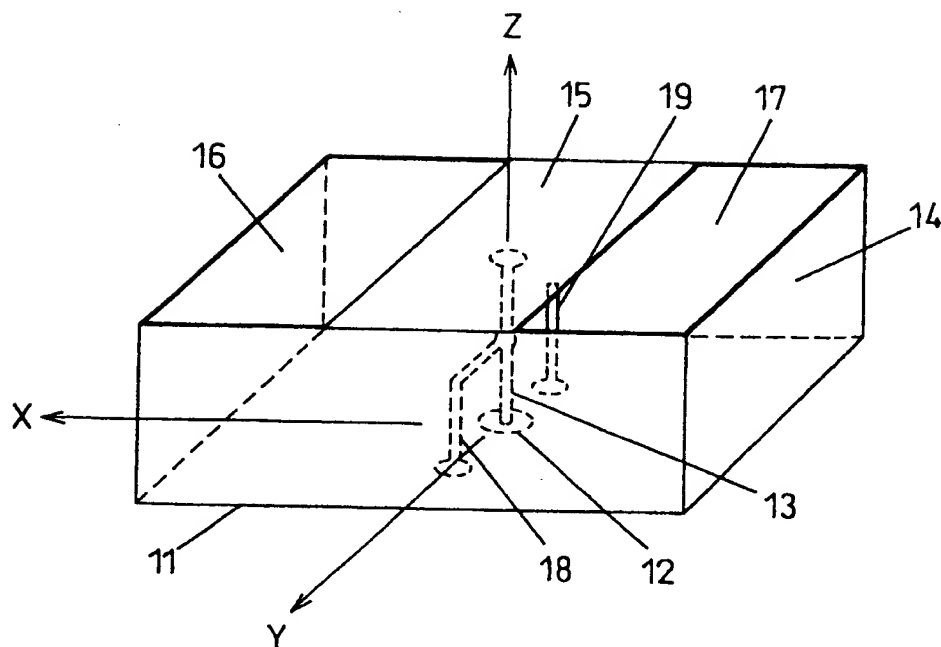


FIG. 28B

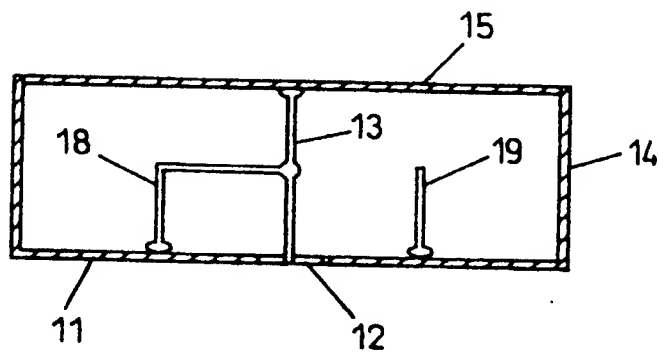


FIG. 29A

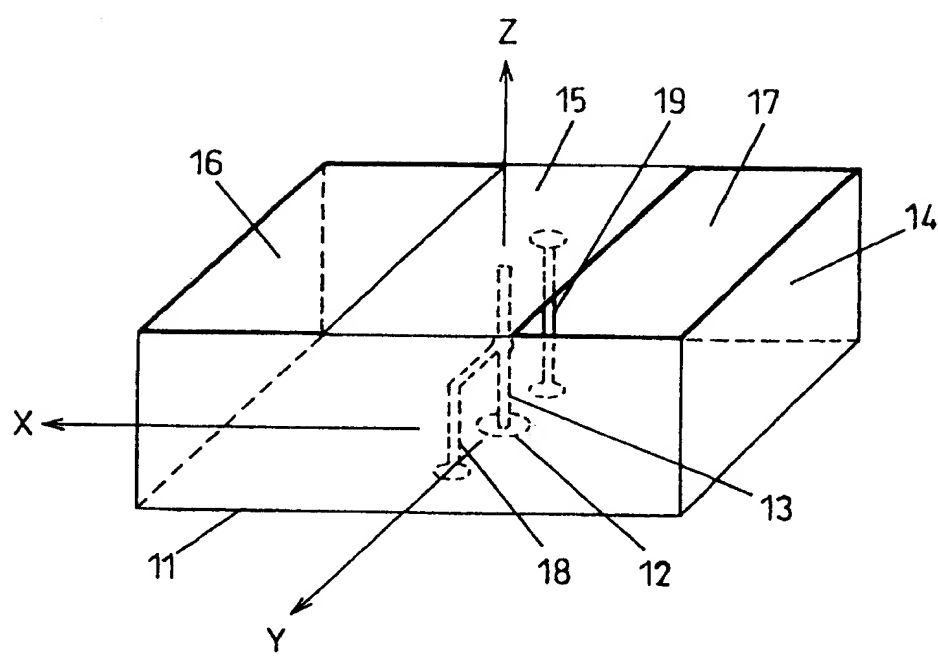
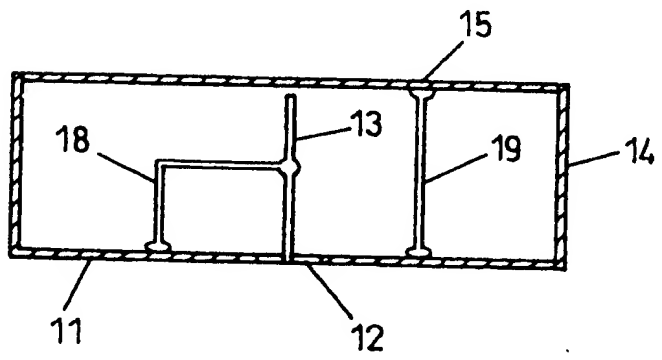


FIG. 29B



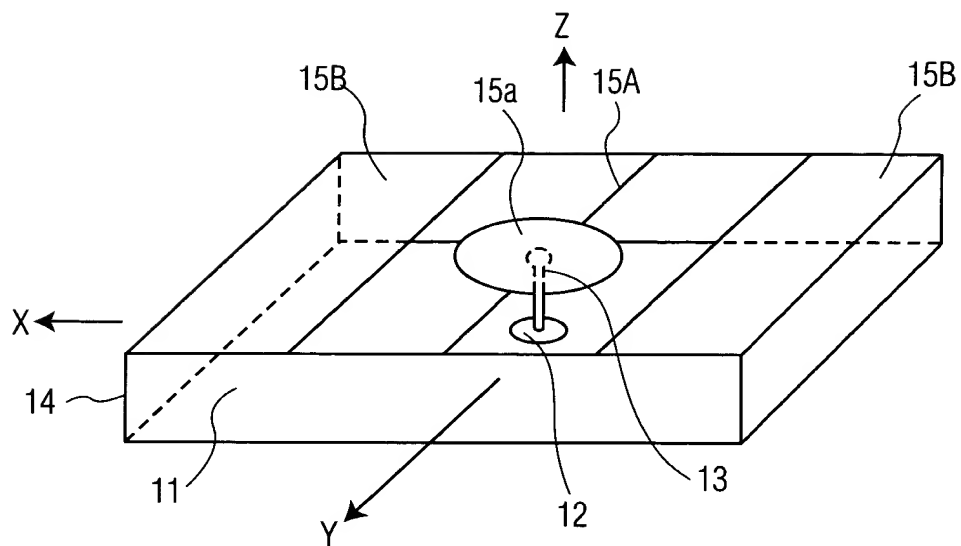


FIG. 30

—●— E_{THETA} , $\text{THETA}=90$ (DEG)

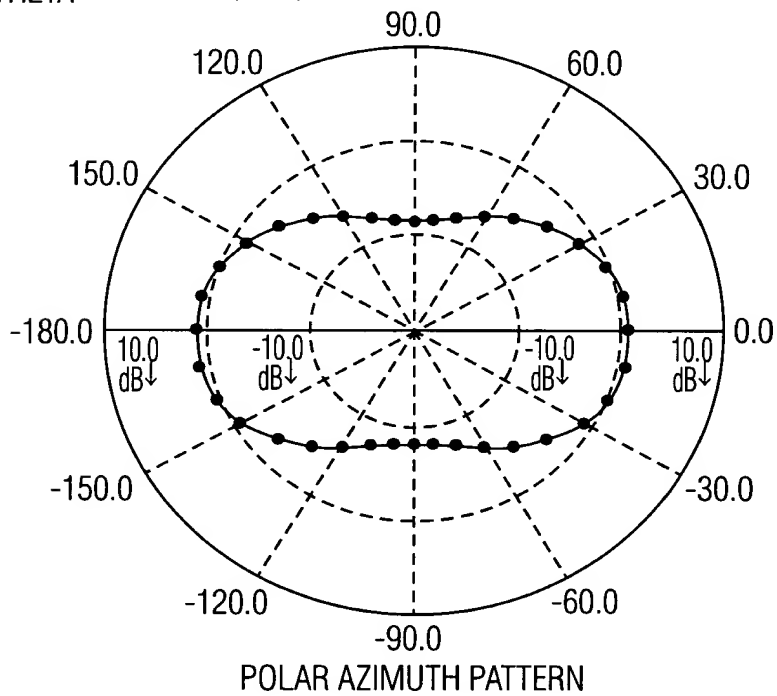


FIG. 31

FIG. 32

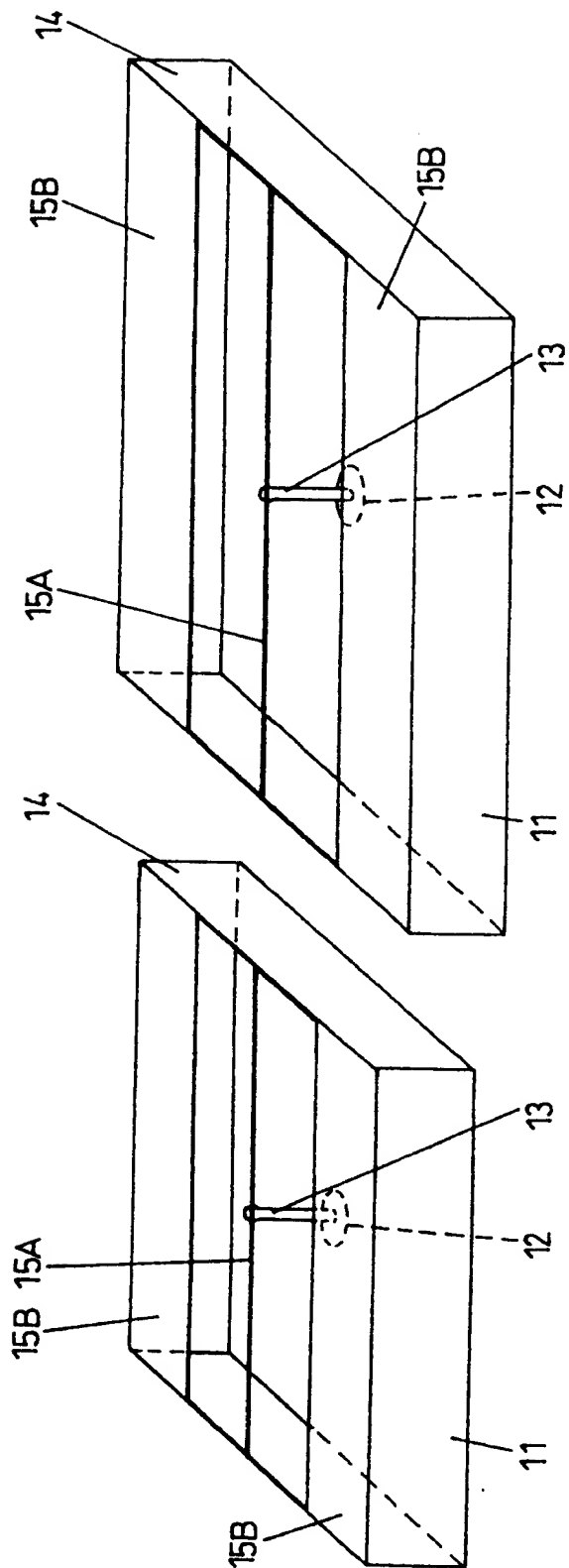


FIG. 33

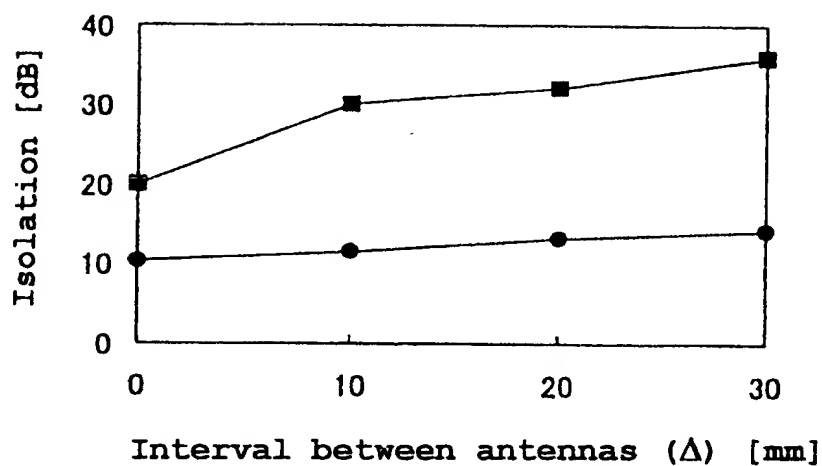


FIG. 34

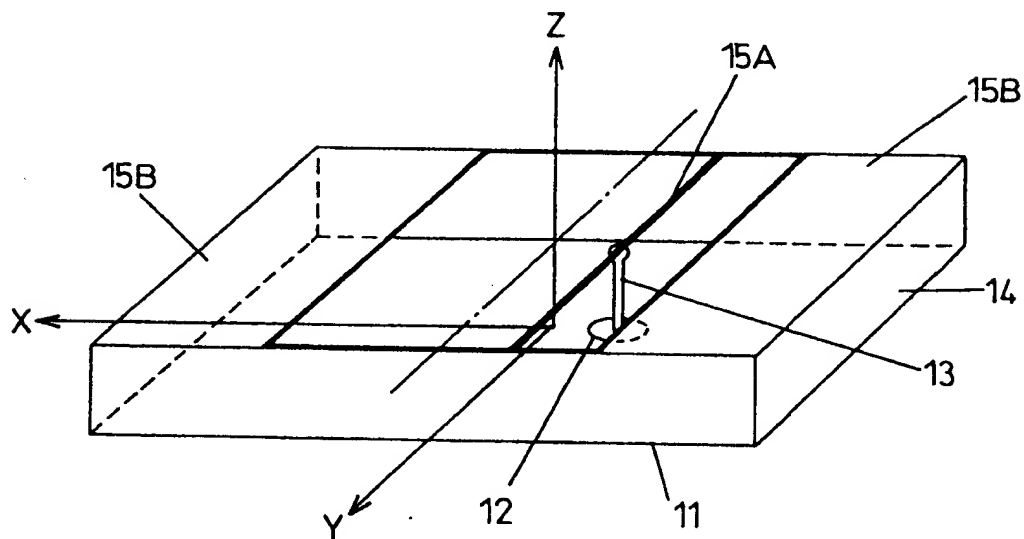




FIG. 35

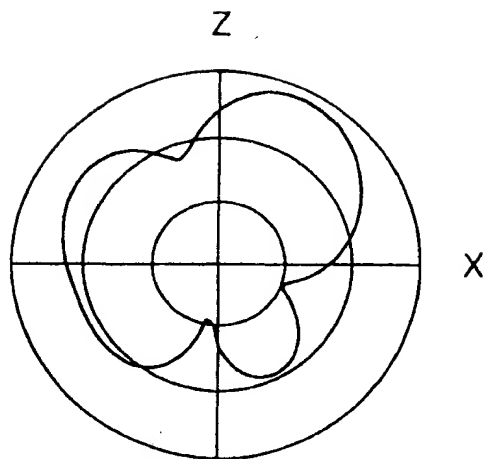
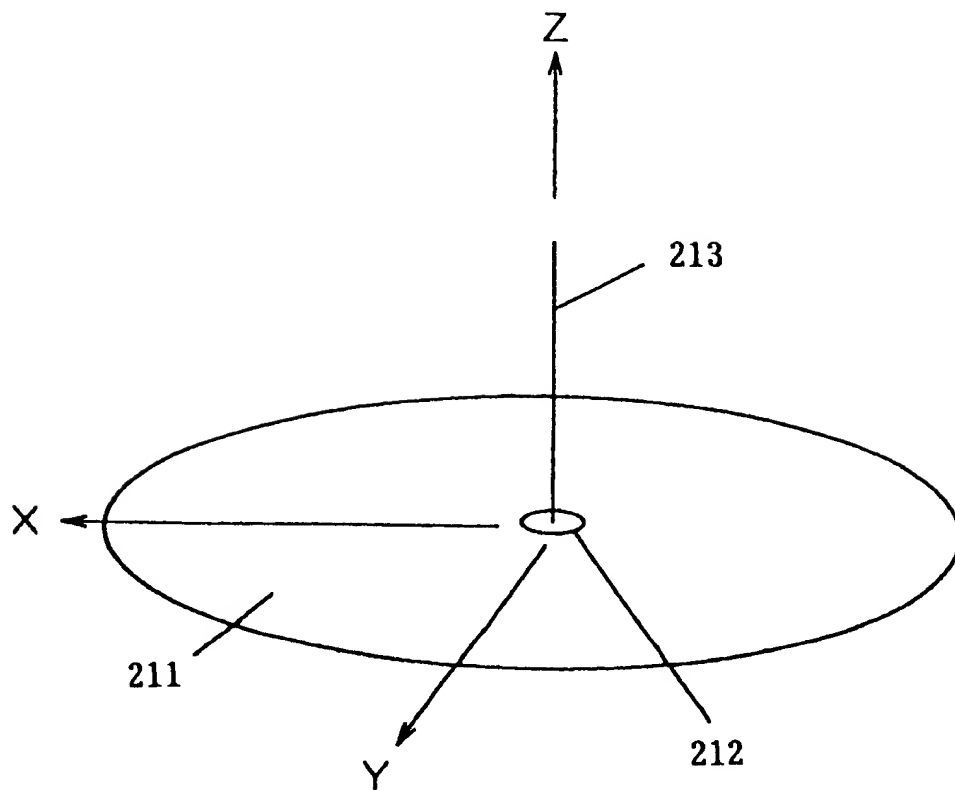


FIG. 36



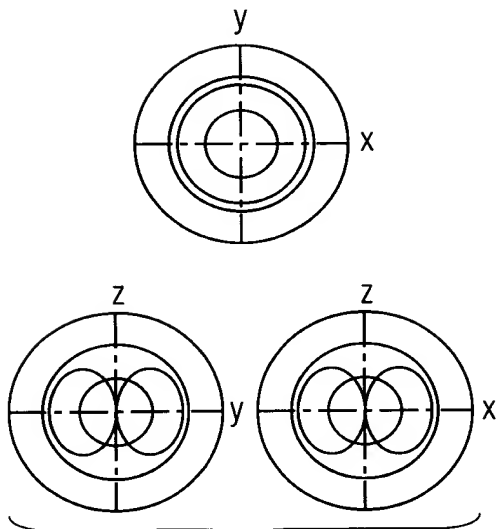


FIG. 37A

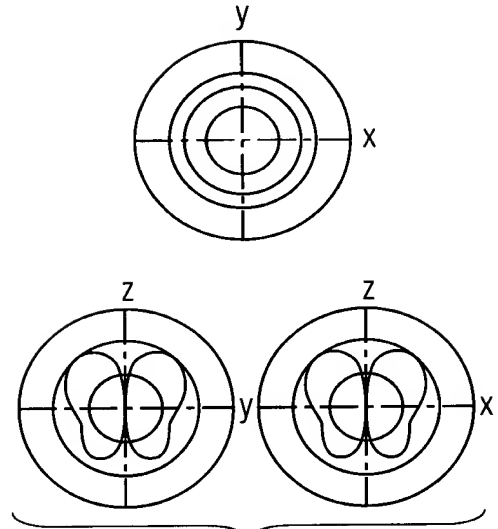


FIG. 37B

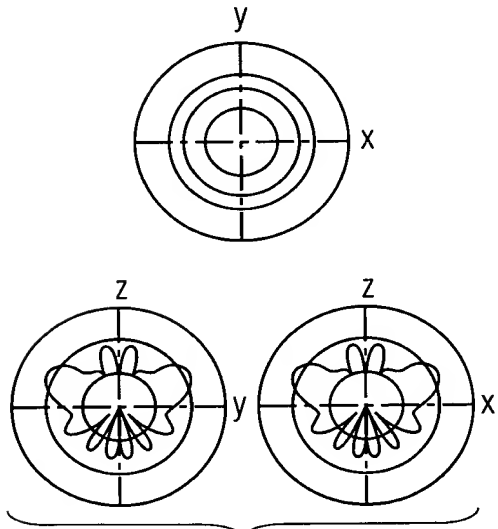


FIG. 37C

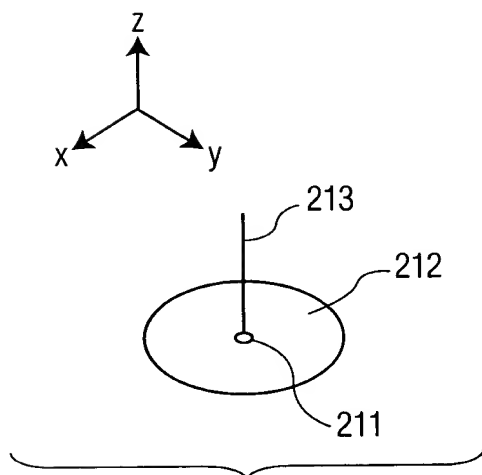
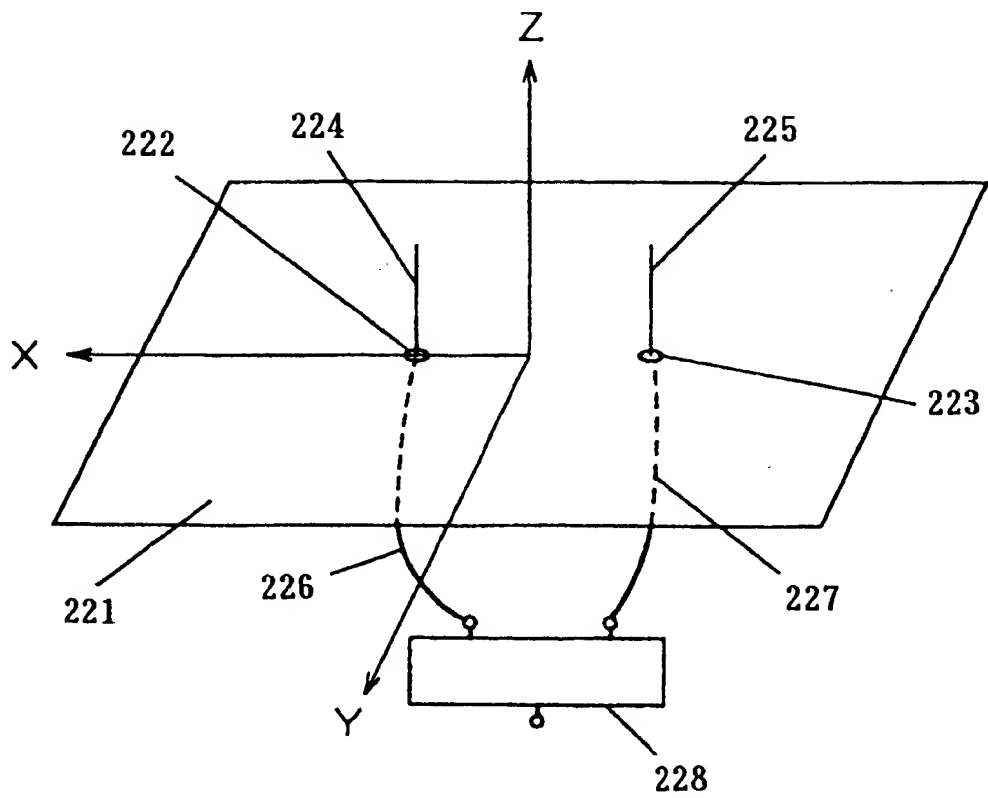


FIG. 37D



FIG. 38



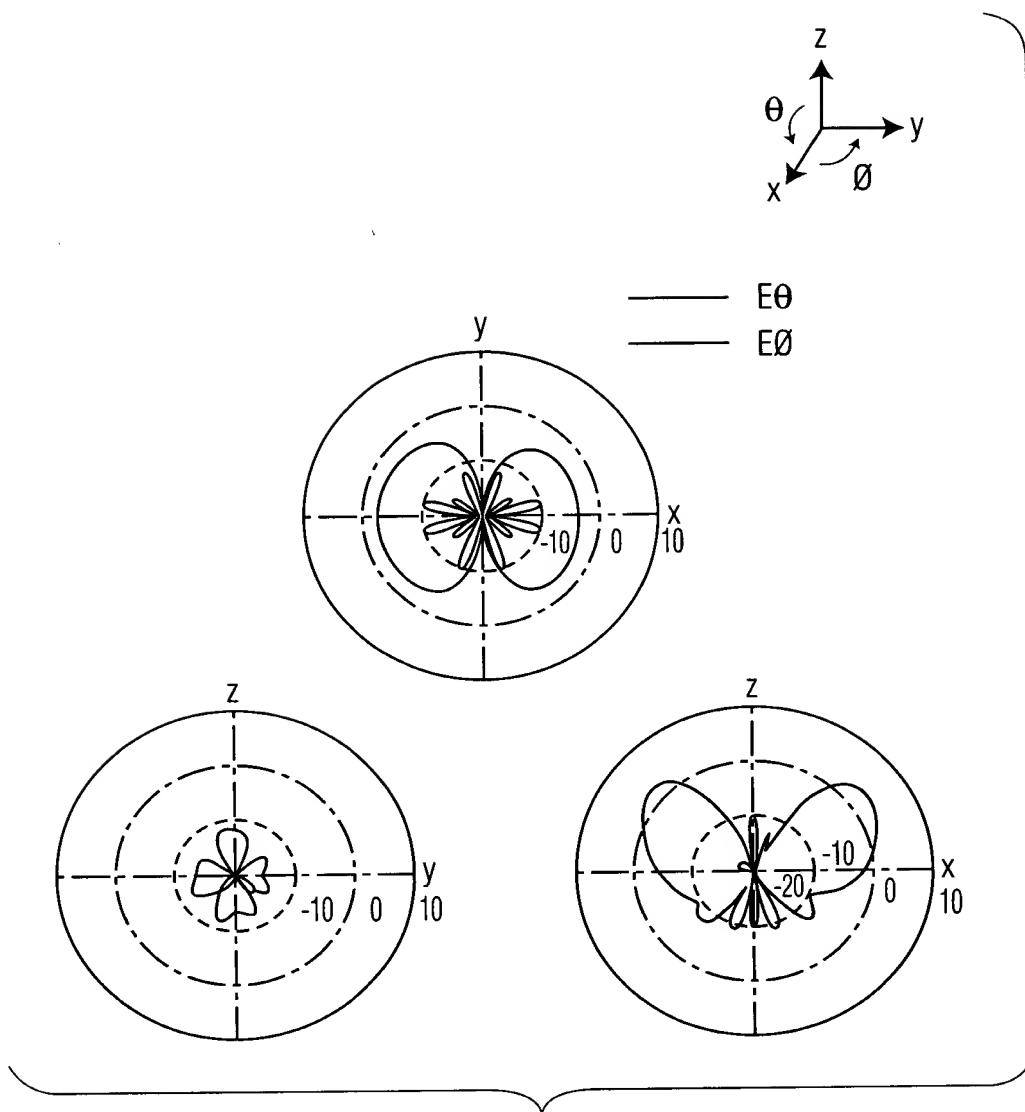


FIG. 39

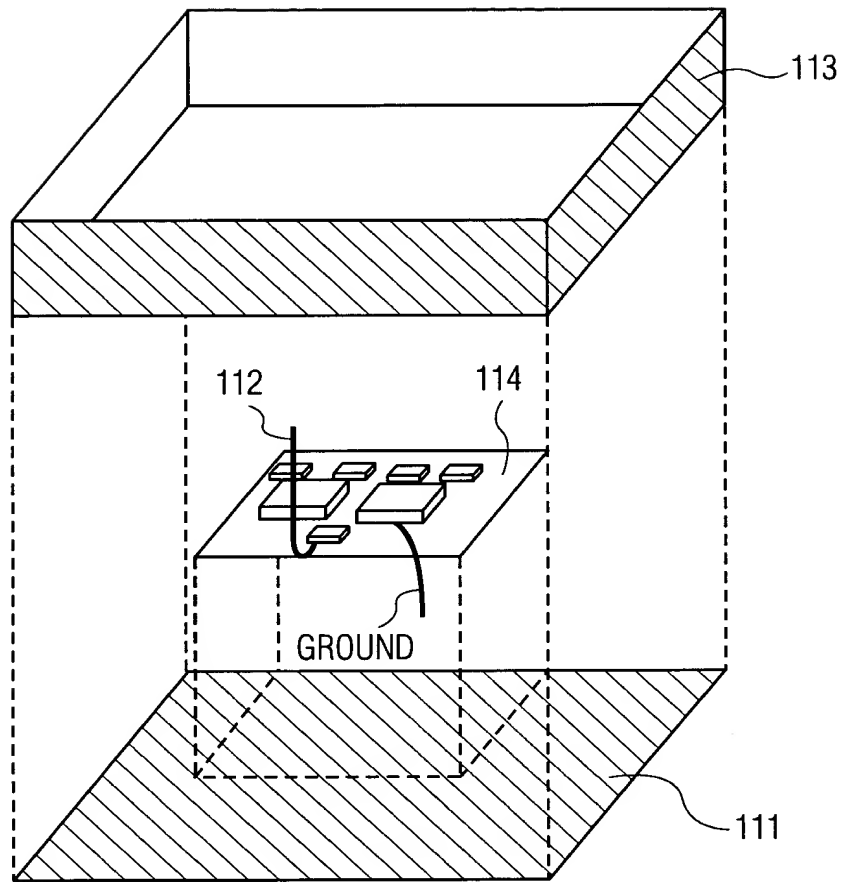


FIG. 40

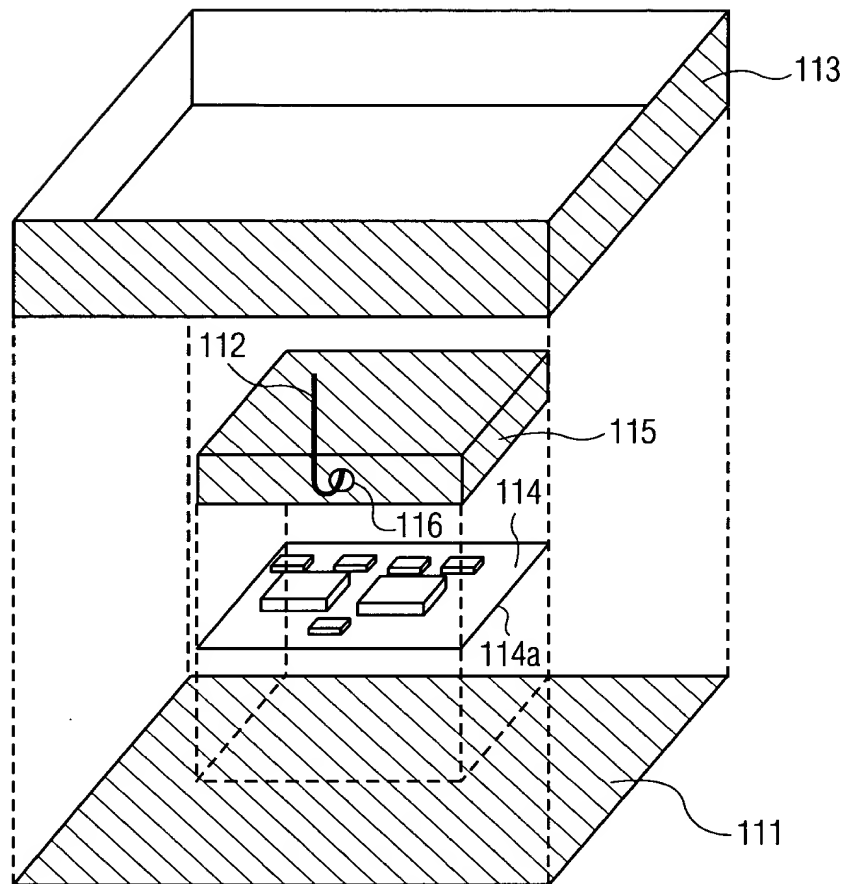


FIG. 41

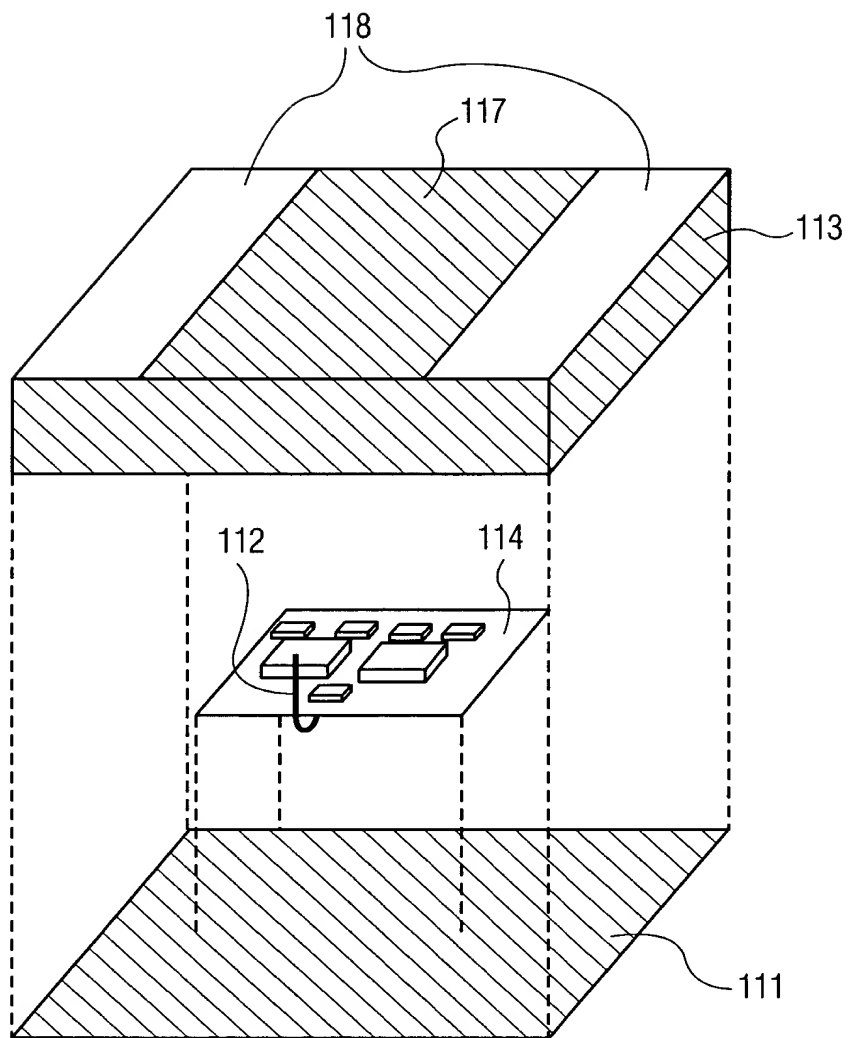


FIG. 42

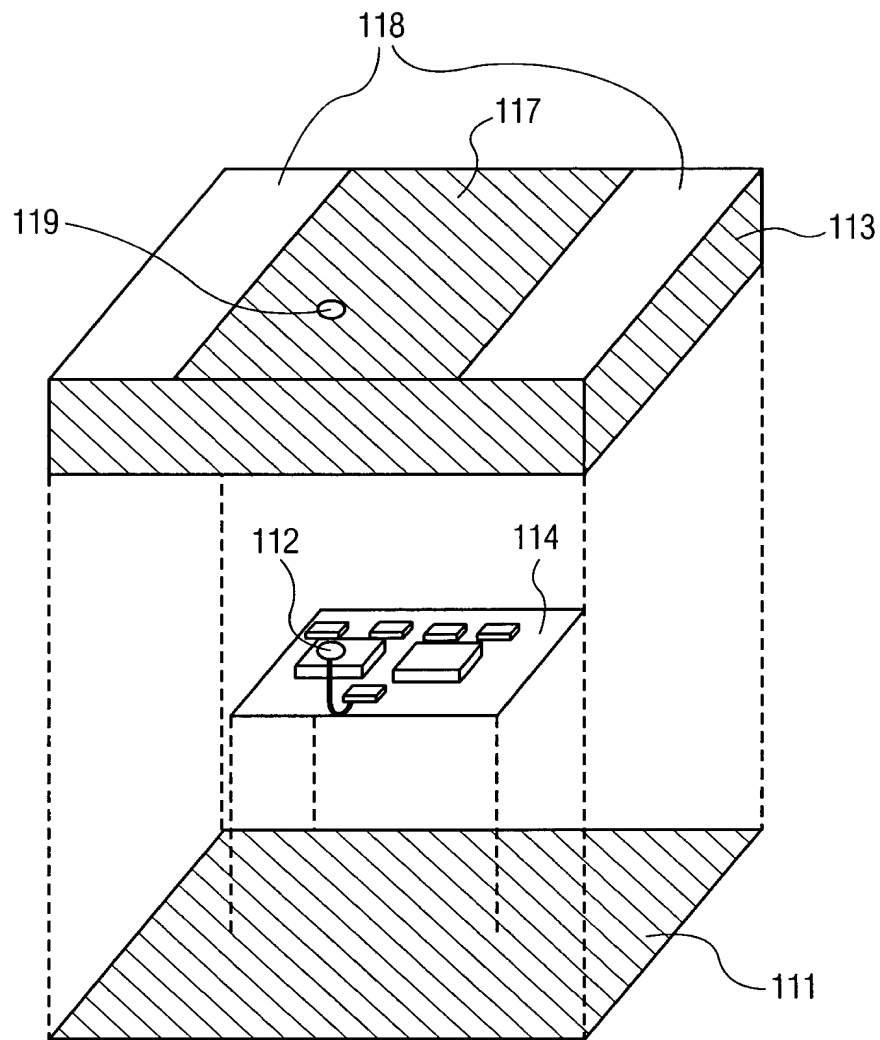


FIG. 43

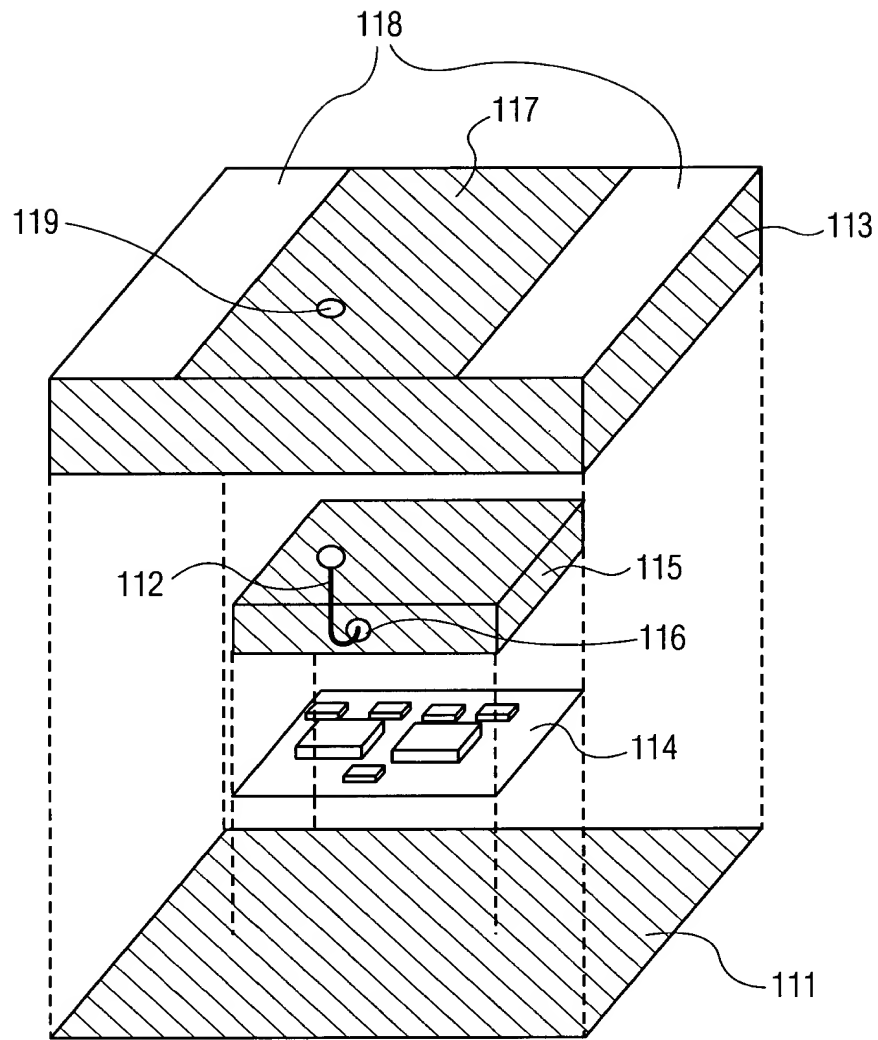


FIG. 44

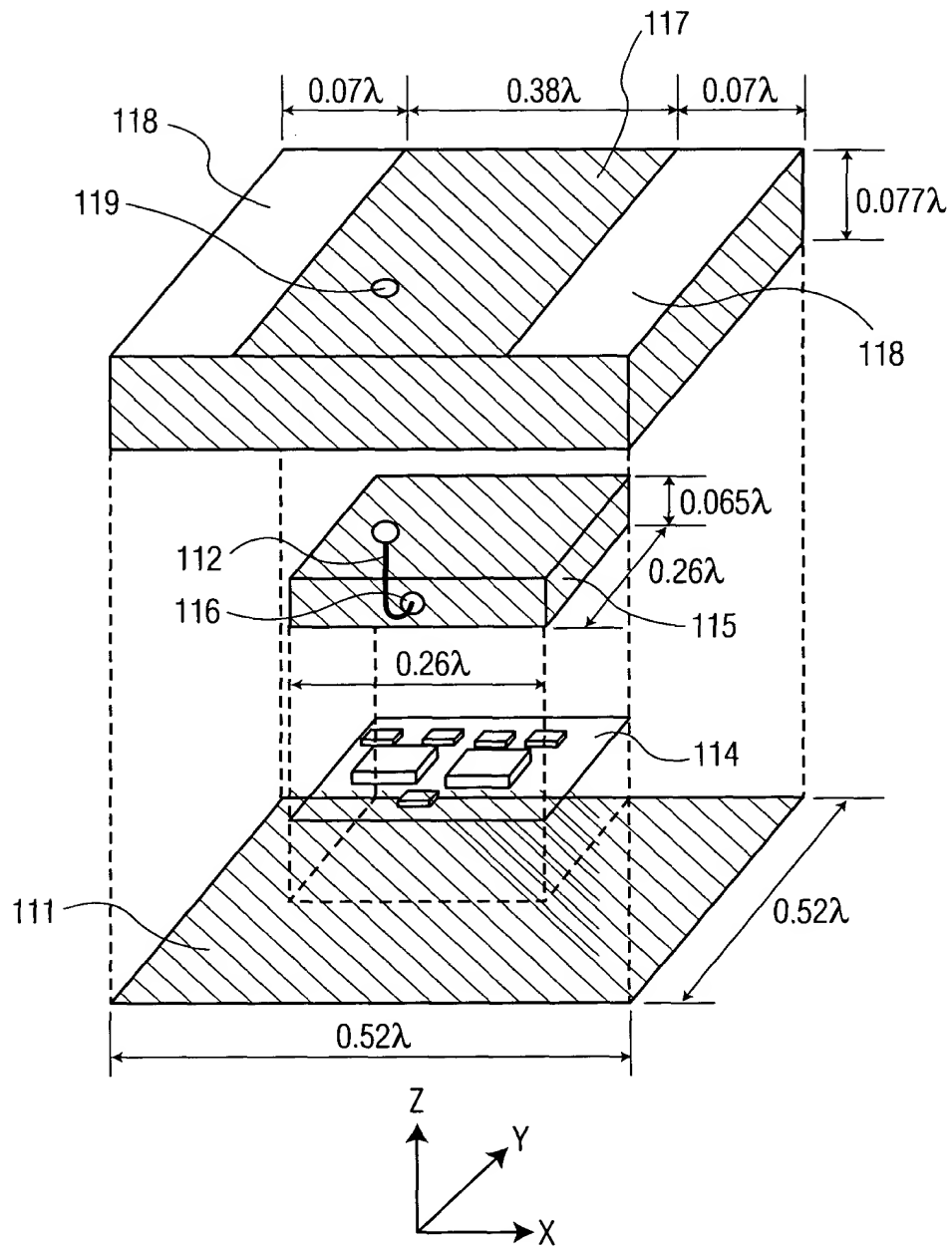


FIG. 45



FIG. 46

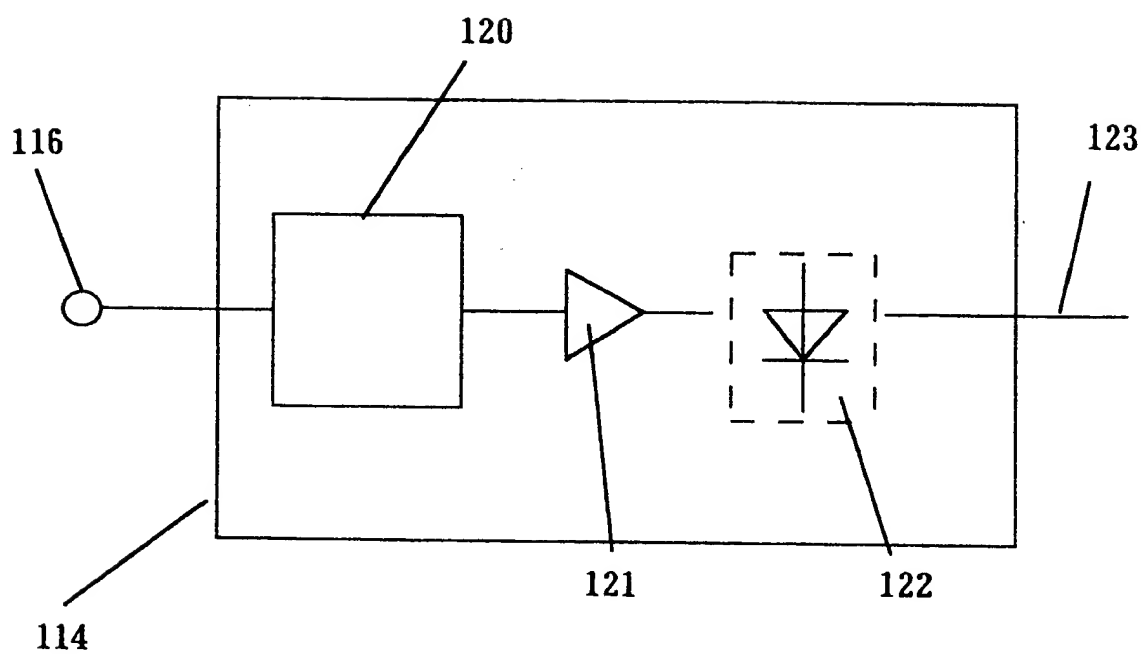
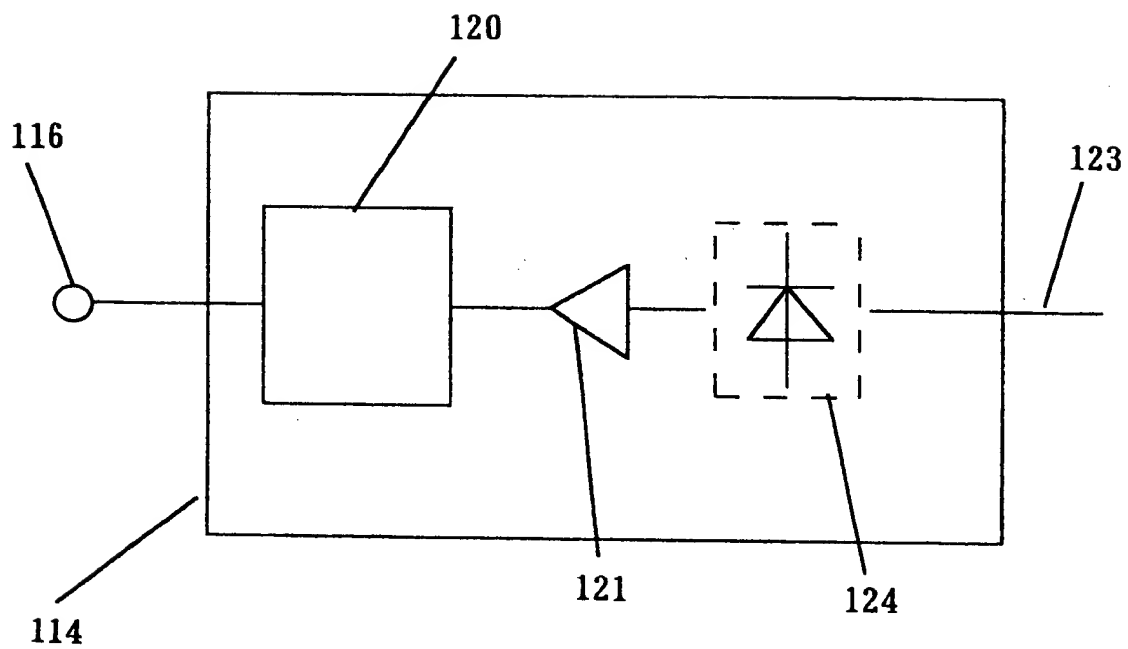




FIG. 47



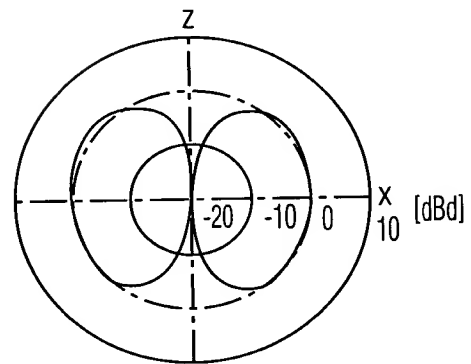
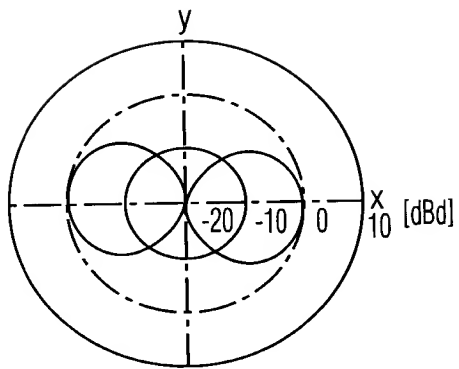
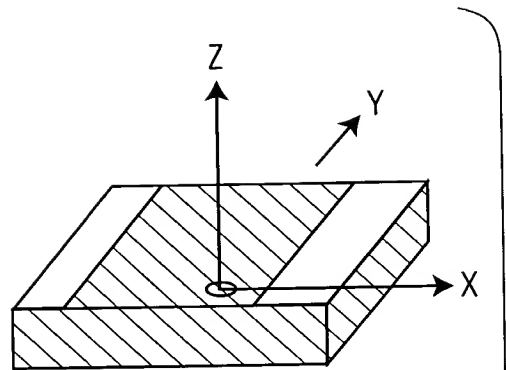


FIG. 48

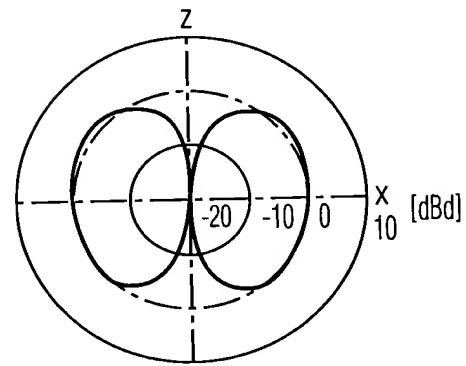
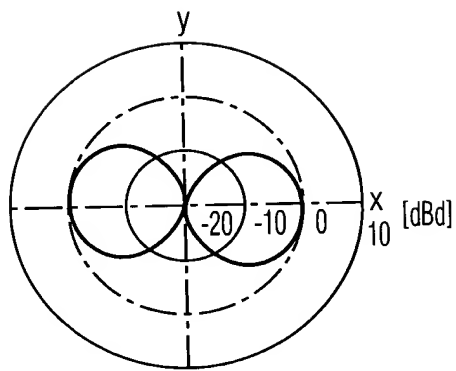
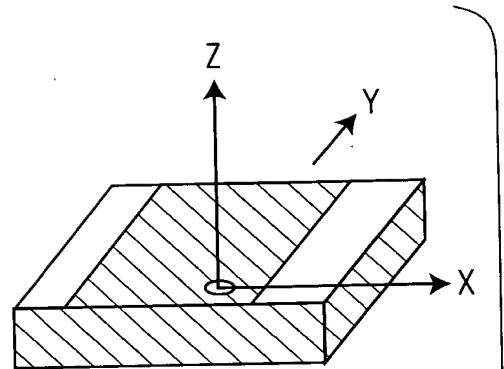
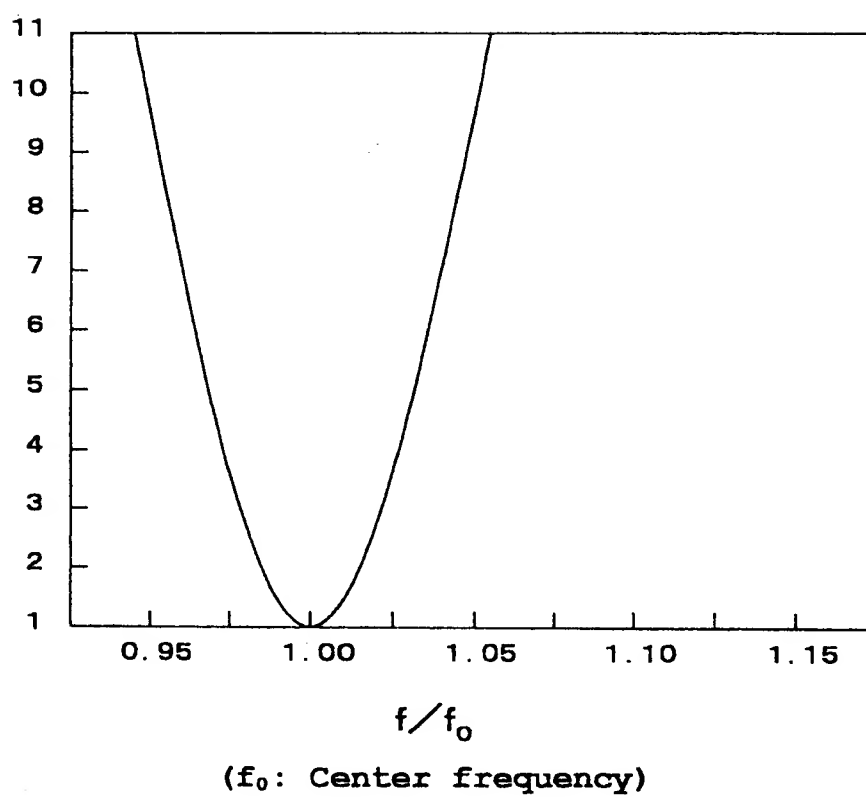


FIG. 49



FIG. 50



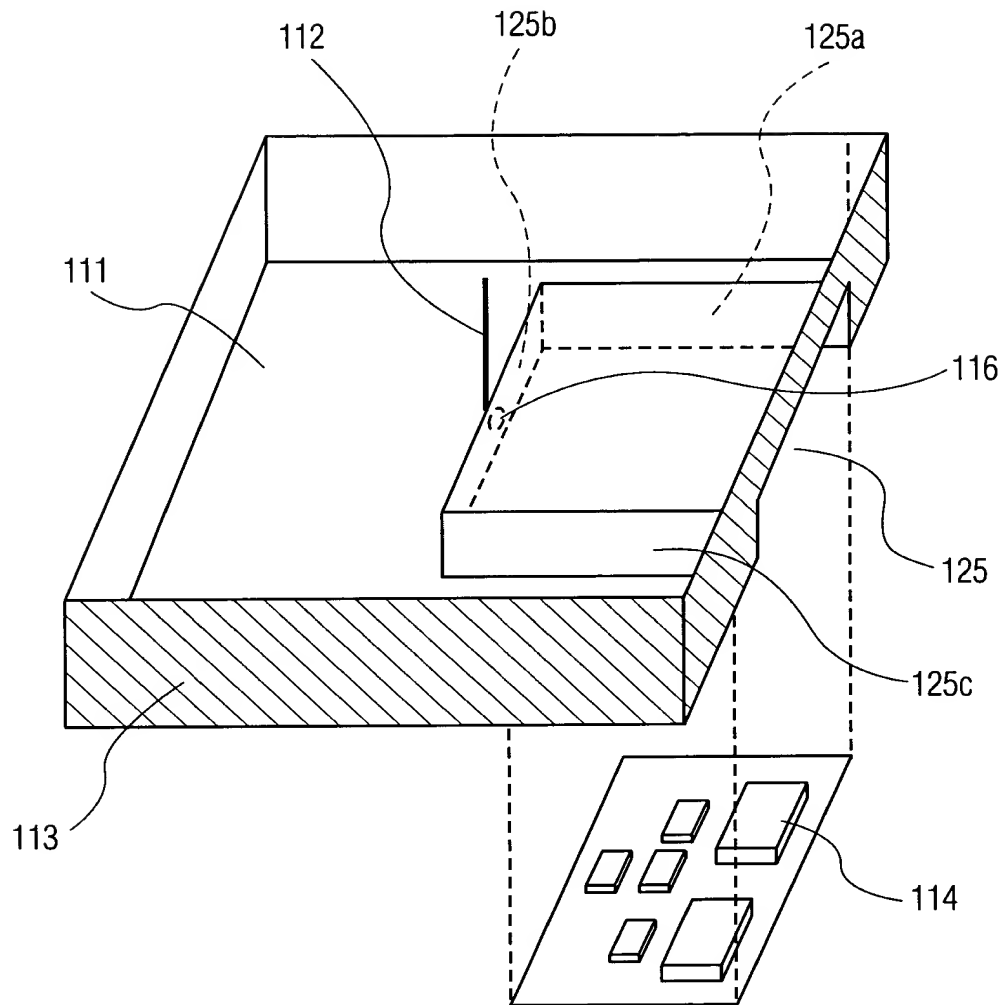


FIG. 51

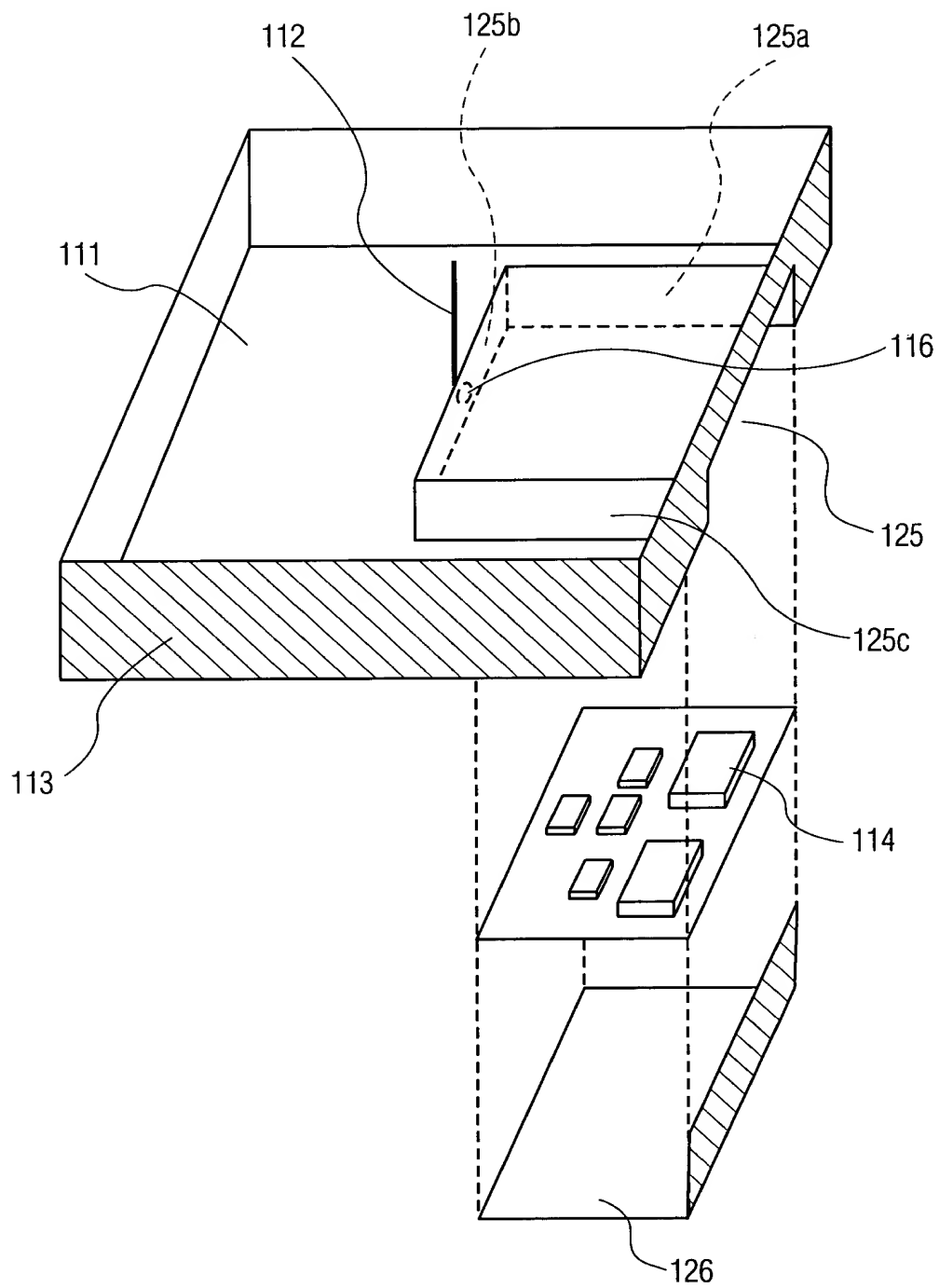


FIG. 52

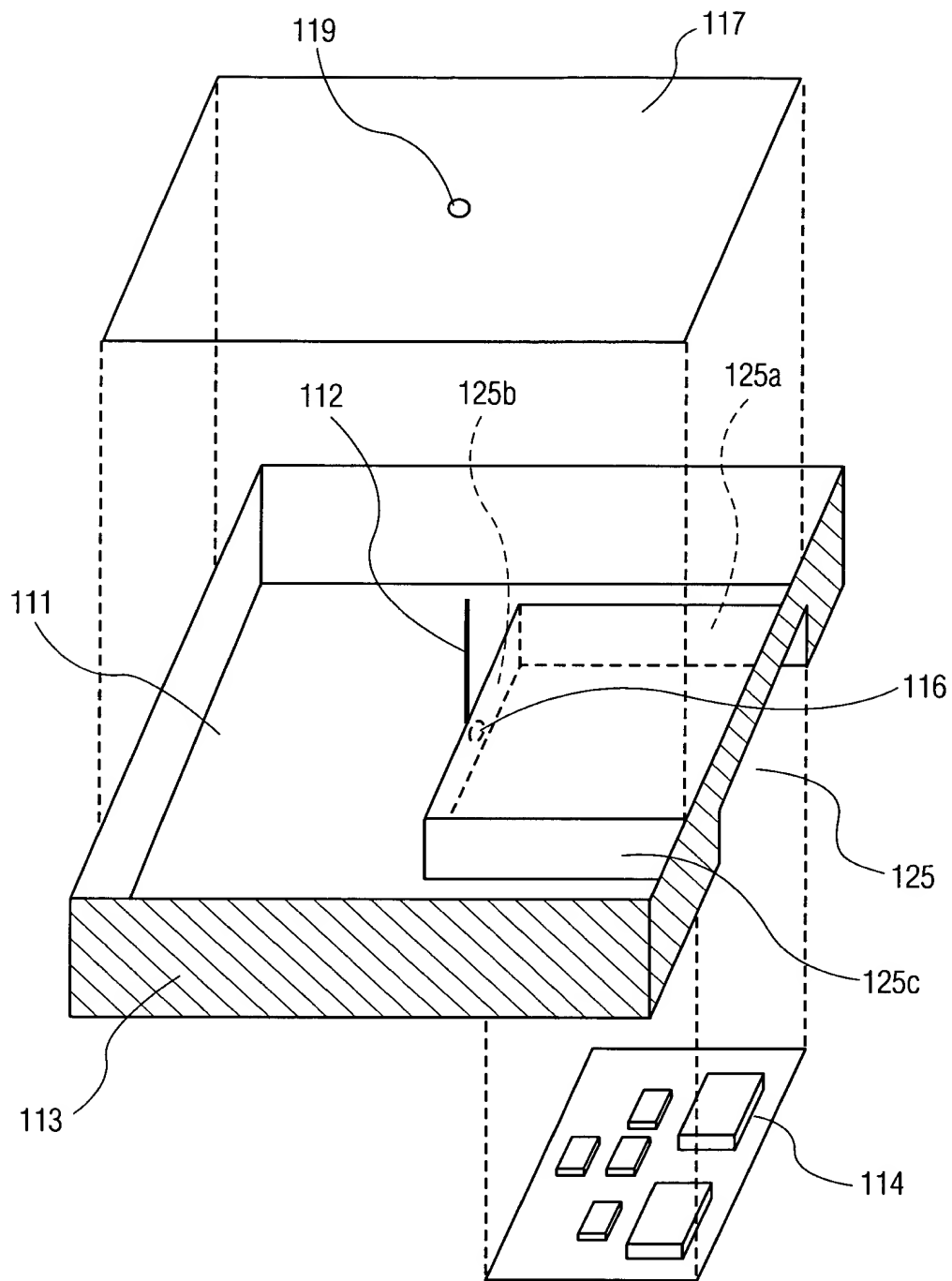


FIG. 53

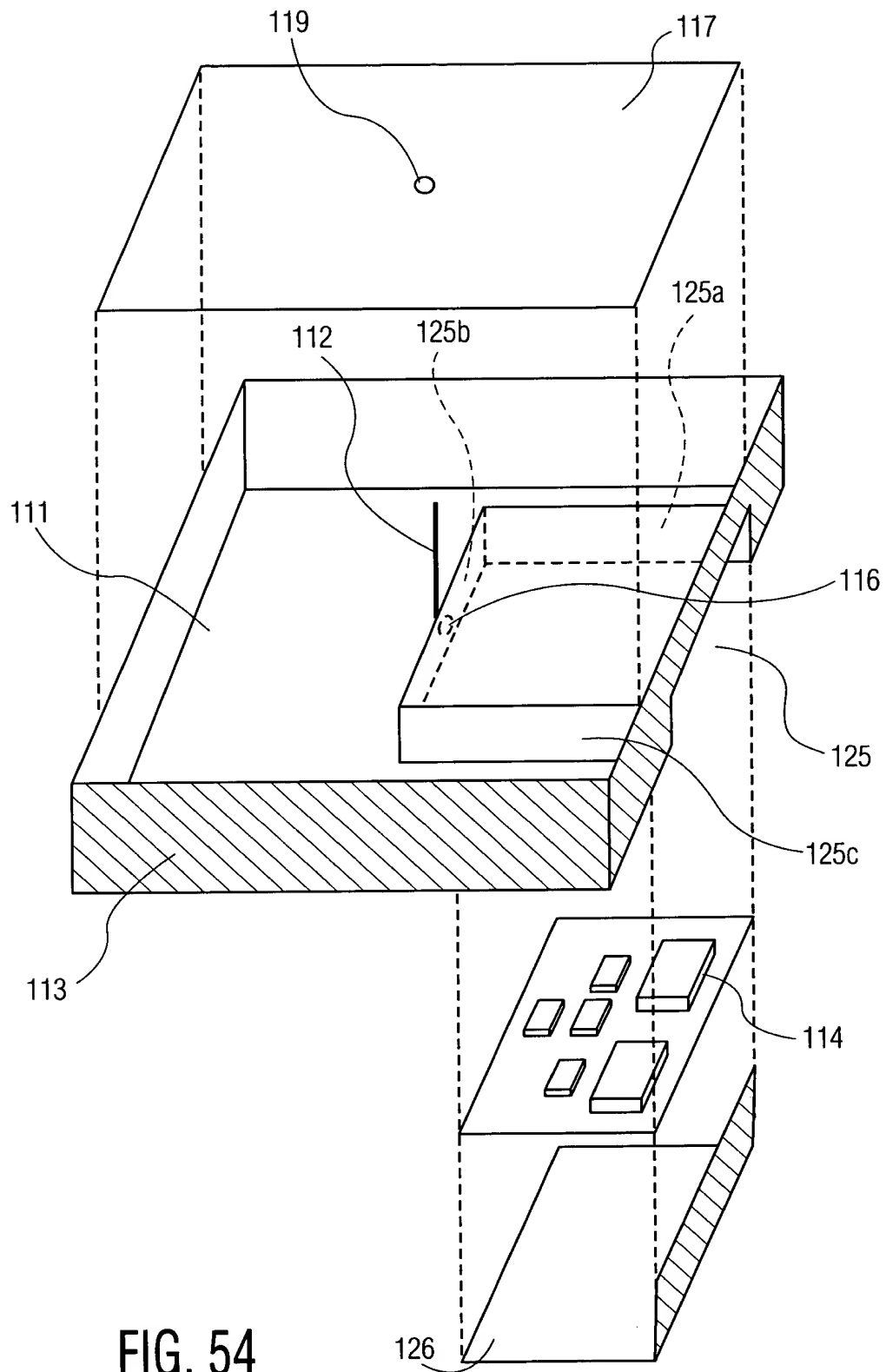


FIG. 54



FIG. 55

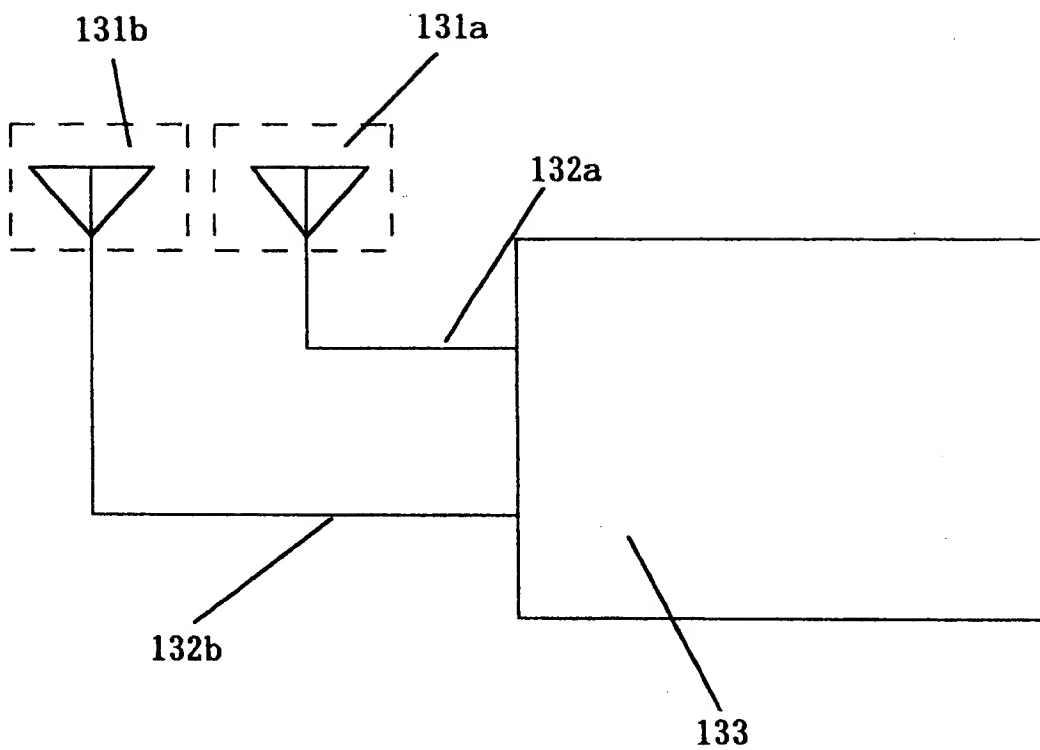
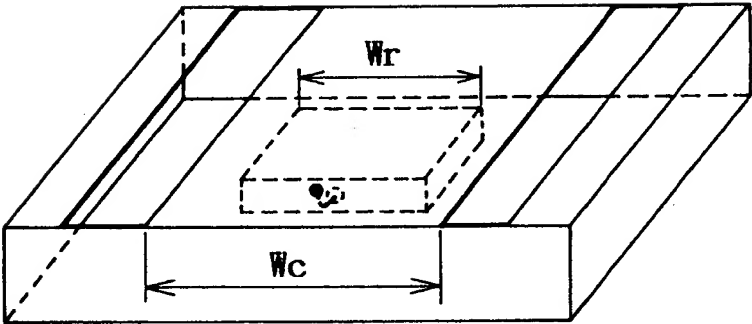
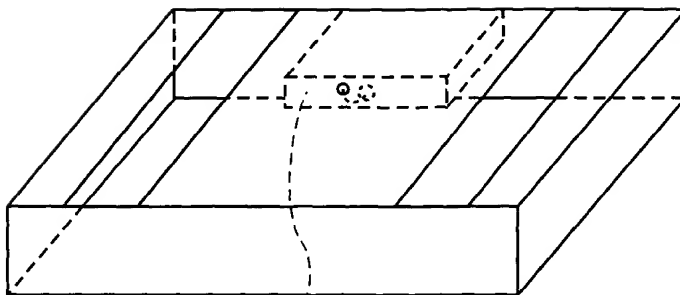




FIG. 56

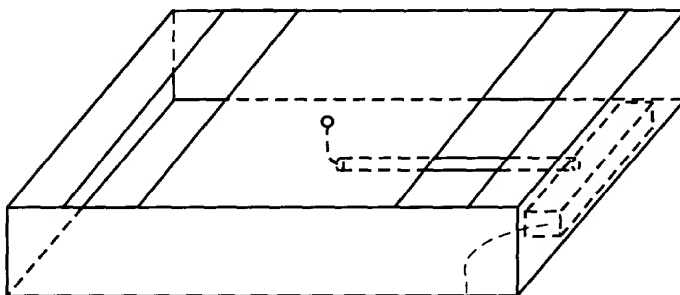


$$W_r < W_c$$



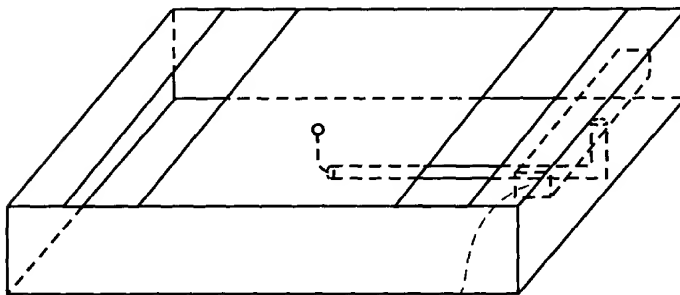
CIRCUIT ON A METAL PLATE IN THE CENTER OF THE UPPER
SURFACE OF A METAL CABINET

FIG. 57A



CIRCUIT ON A BOTTOM METAL PLATE UNDER A METAL PLATE
IN THE EDGE SIDE OF THE UPPER SURFACE OF A METAL CABINET

FIG. 57B



CIRCUIT ON A METAL PLATE (INSIDE A CABINET) IN THE
EDGE SIDE OF THE UPPER SURFACE OF THE METAL CABINET

FIG. 57C

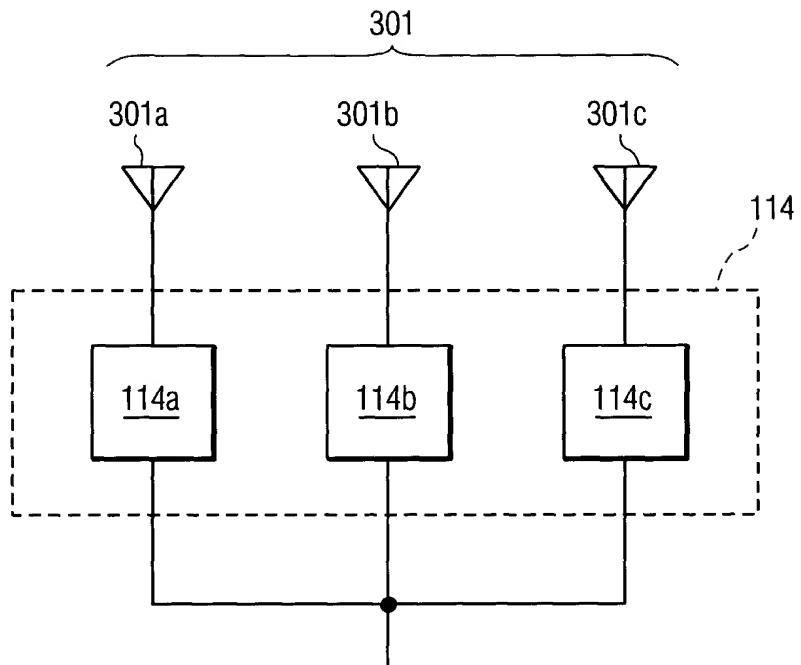


FIG. 58

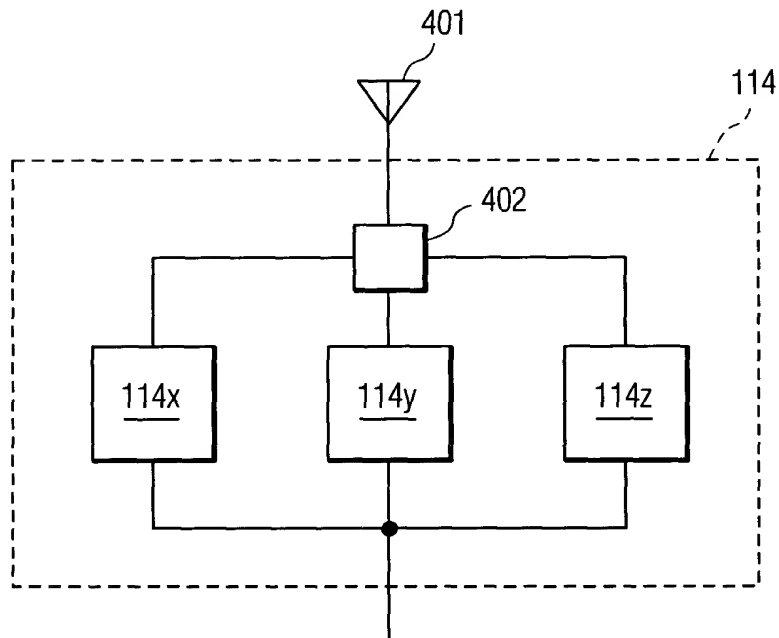


FIG. 59

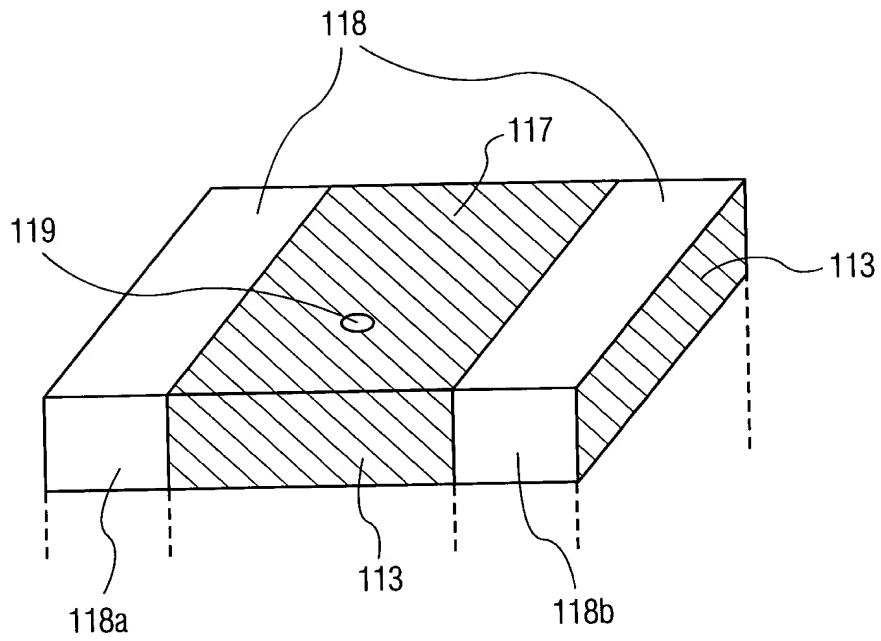


FIG. 60A

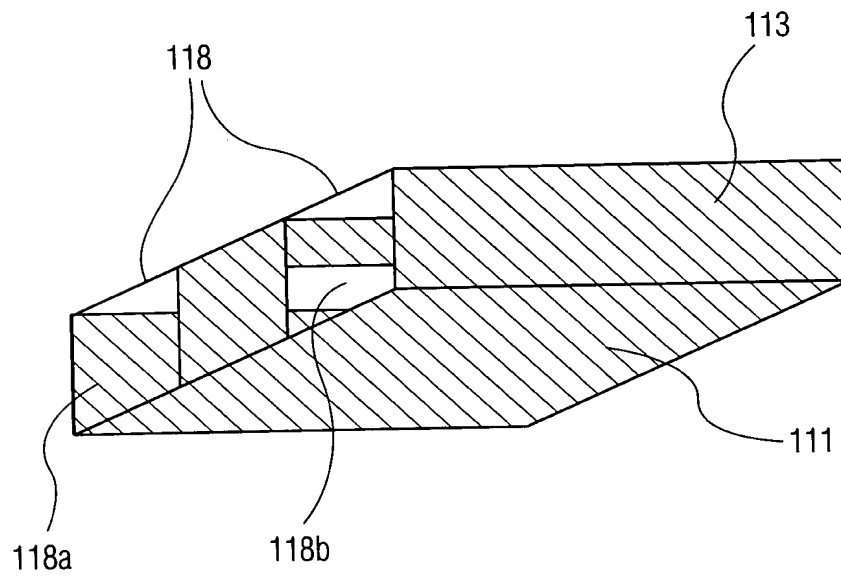


FIG. 60B

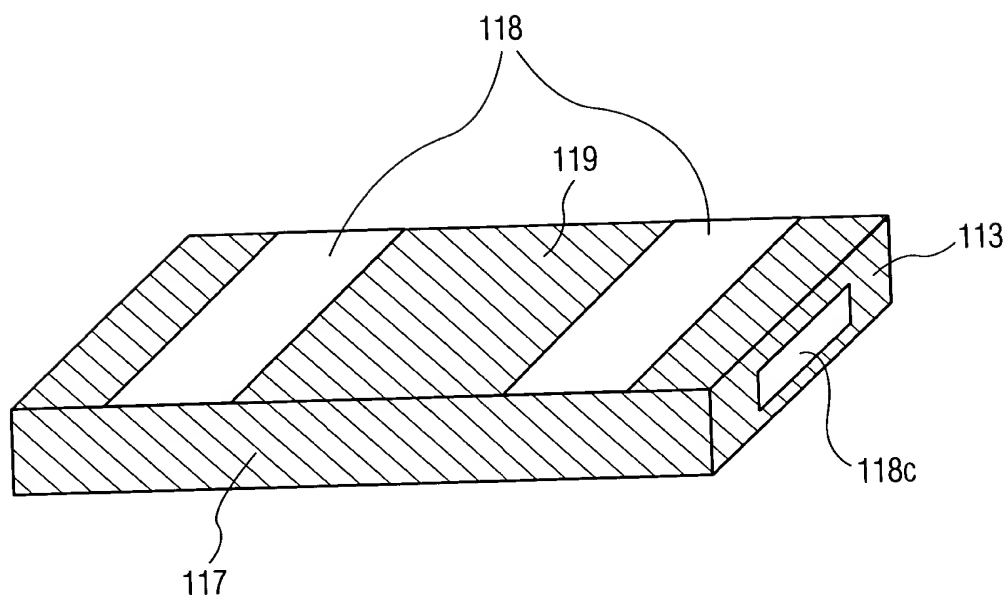


FIG. 60C